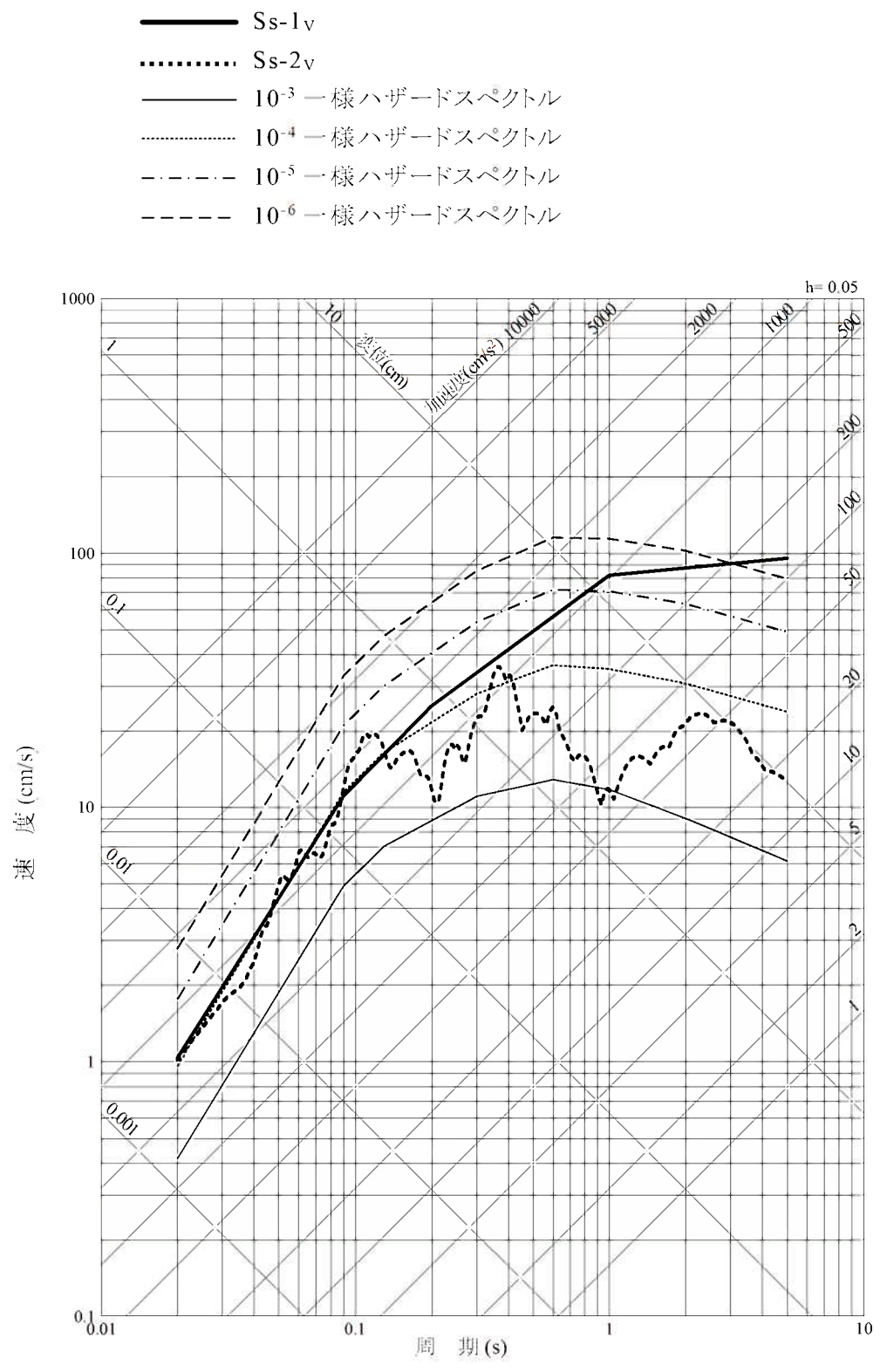
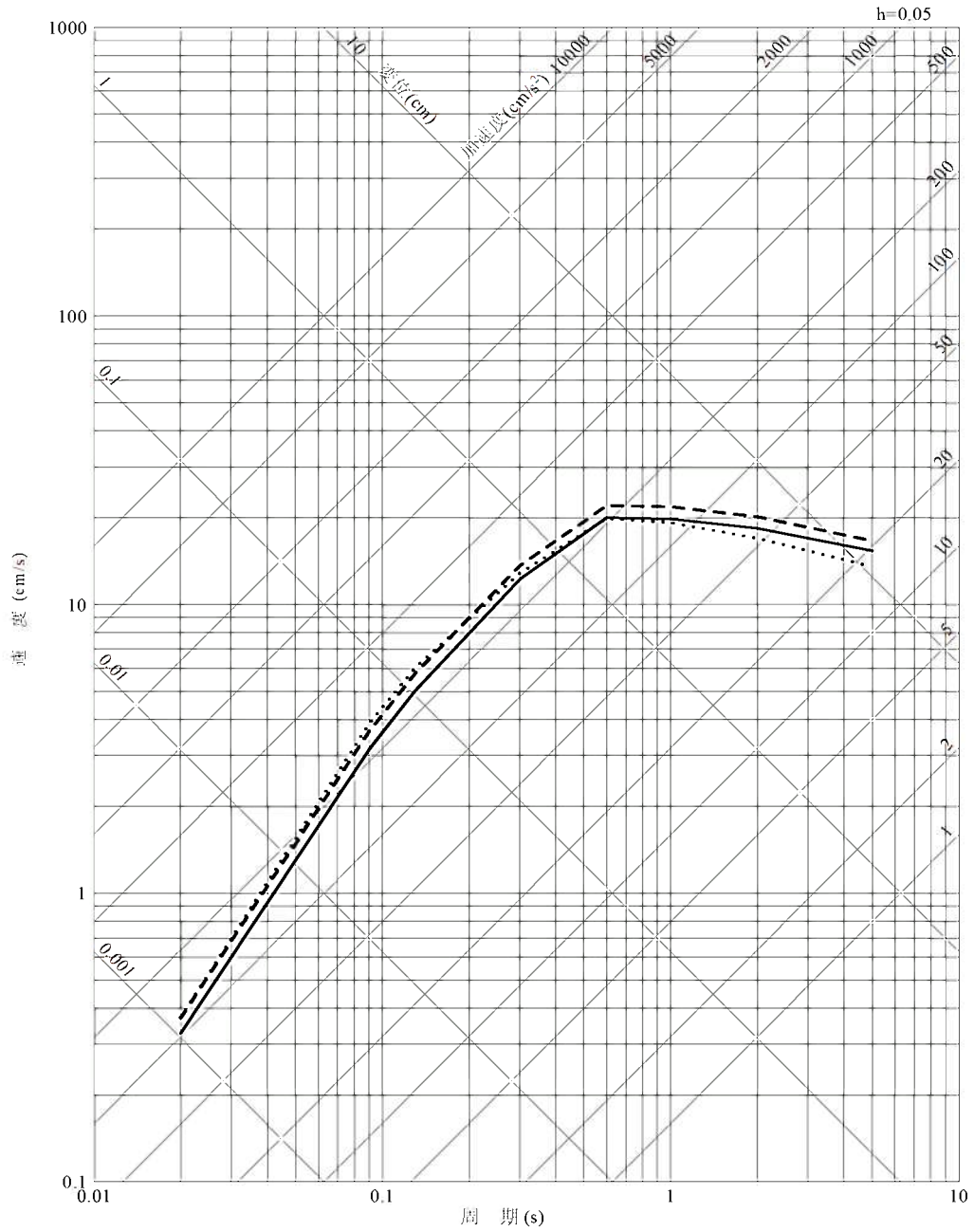


第1.2-316図 基準地震動の応答スペクトル及び解放基盤表面における地震動の一様ハザードスペクトル(水平方向)



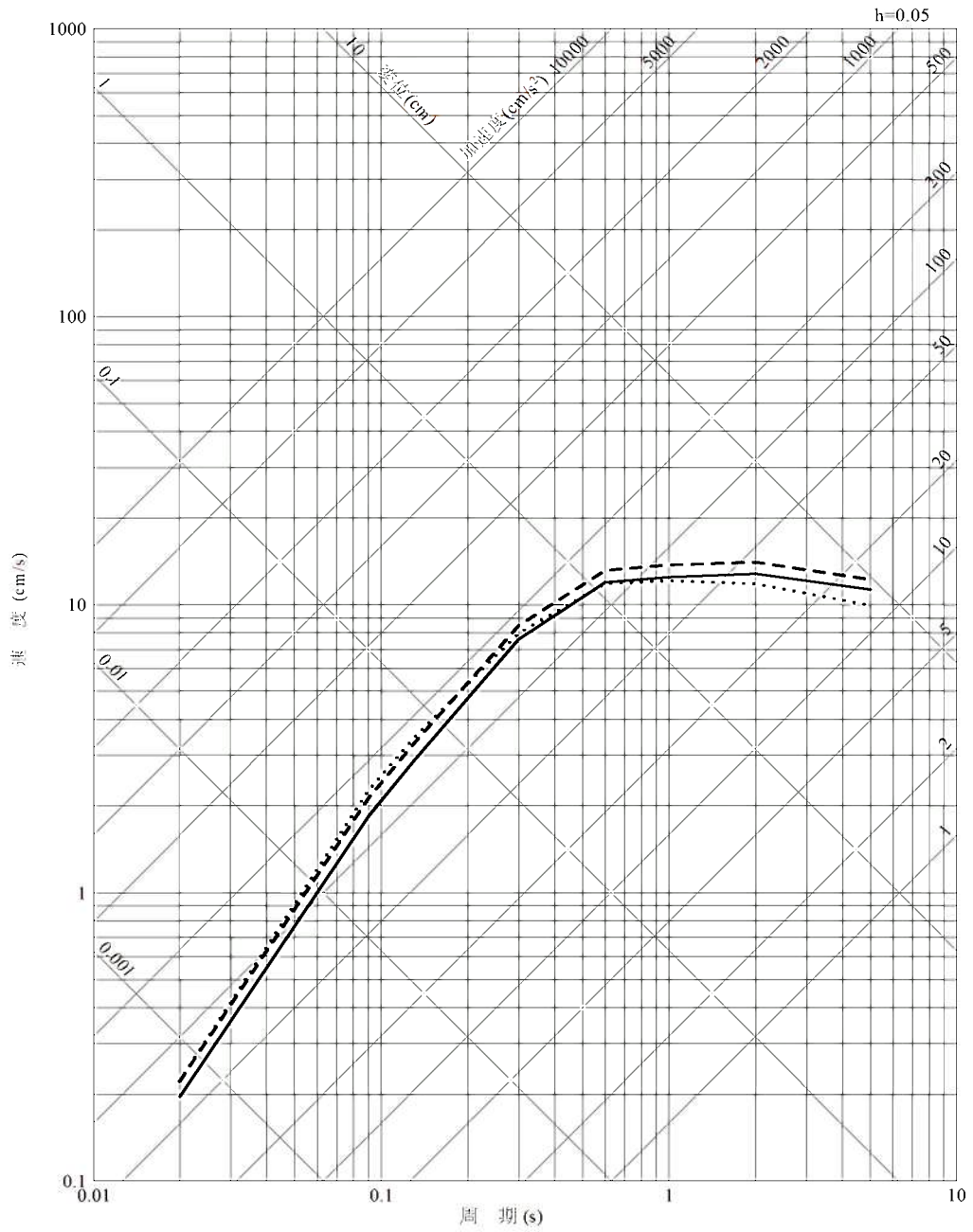
第1.2-317図 基準地震動の応答スペクトル及び解放基盤表面における地震動の一様ハザードスペクトル(鉛直方向)

- 布田川・日奈久断層帯による地震
- 甕島西方断層による地震
- - - 長崎海脚断層による地震

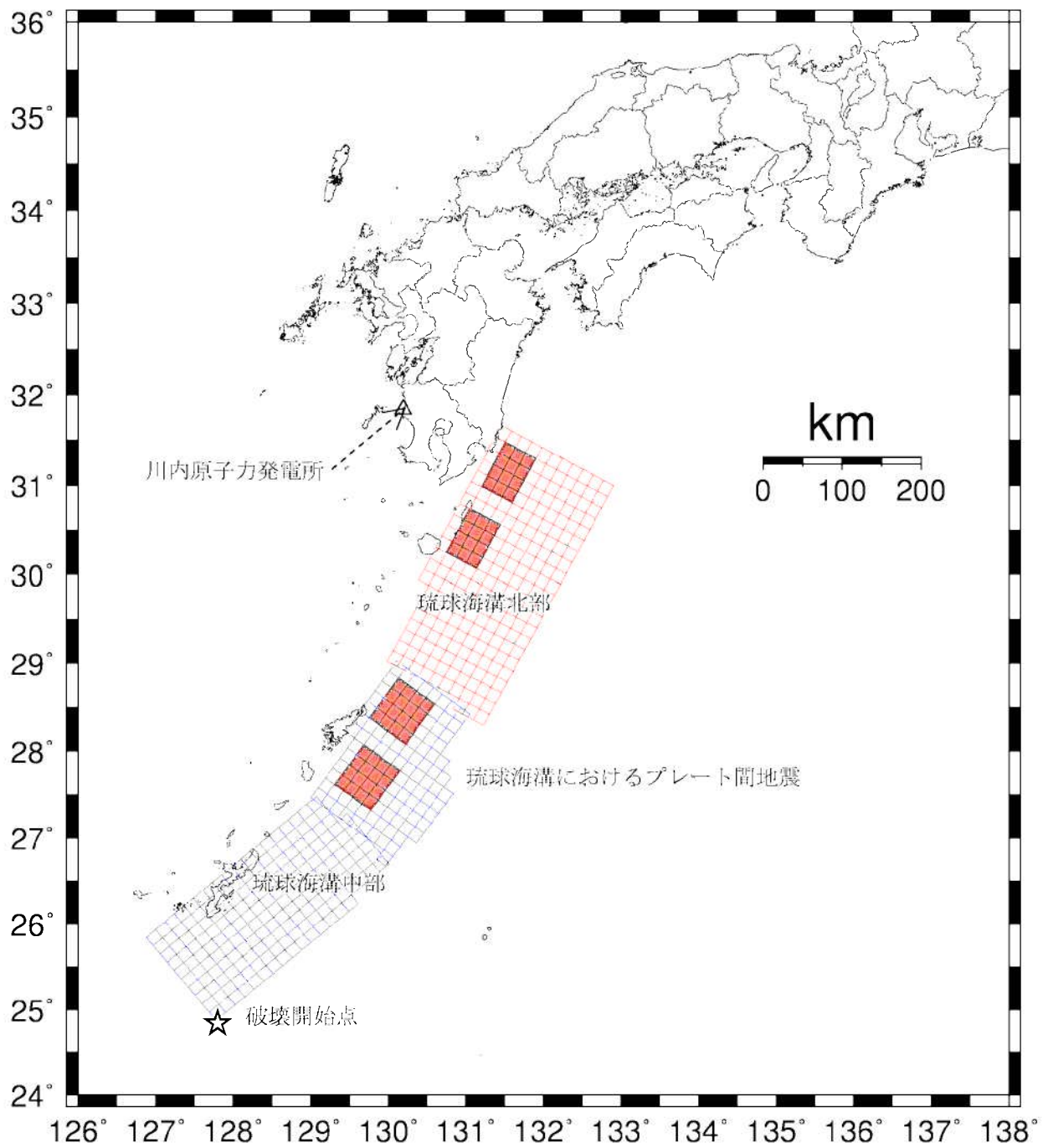


第1.2-318図 長大な活断層による地震の応答スペクトル(水平方向)

- 布田川・日奈久断層帯による地震
- 甕島西方断層による地震
- - - 長崎海脚断層による地震

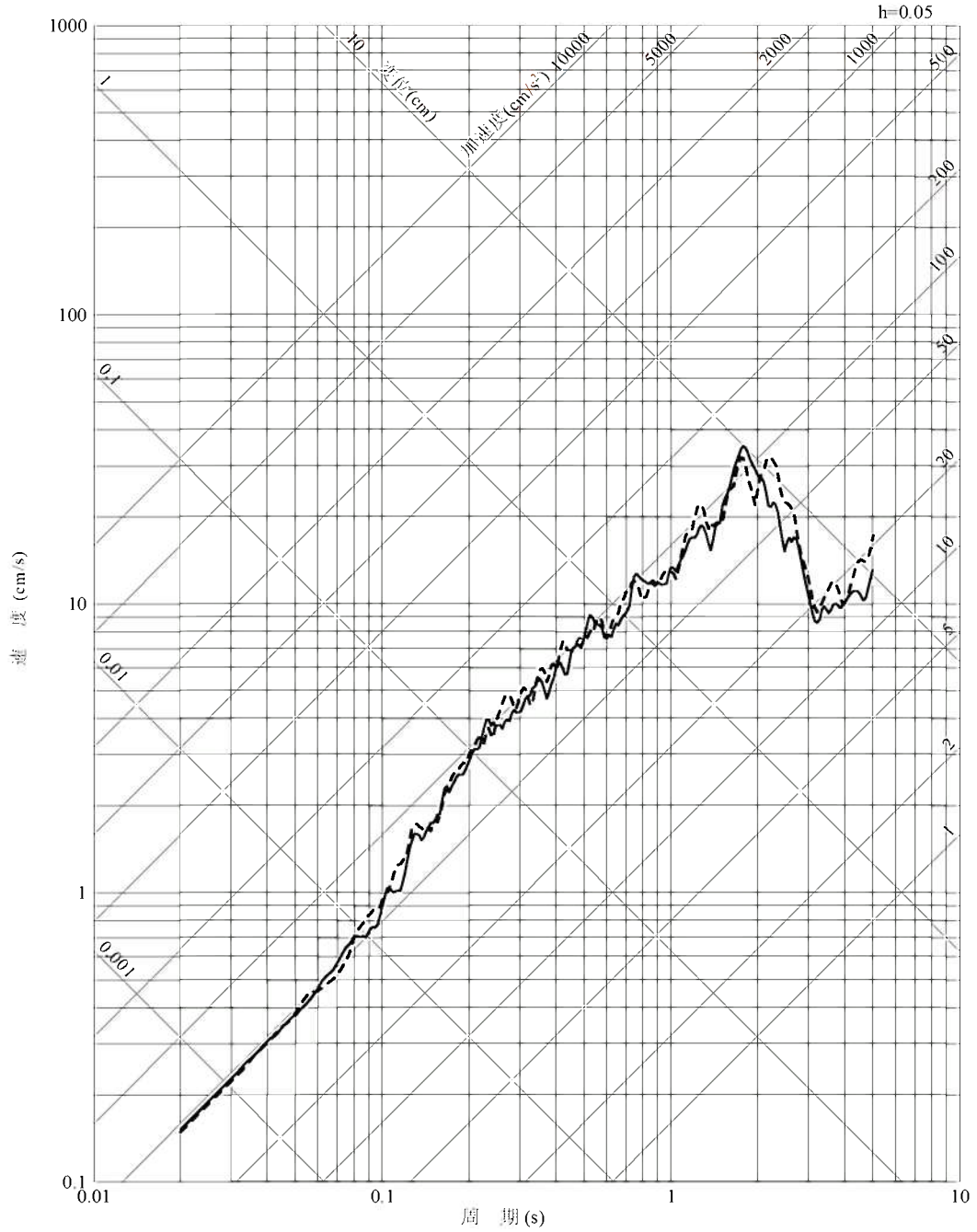


第1.2-319図 長大な活断層による地震の応答スペクトル(鉛直方向)



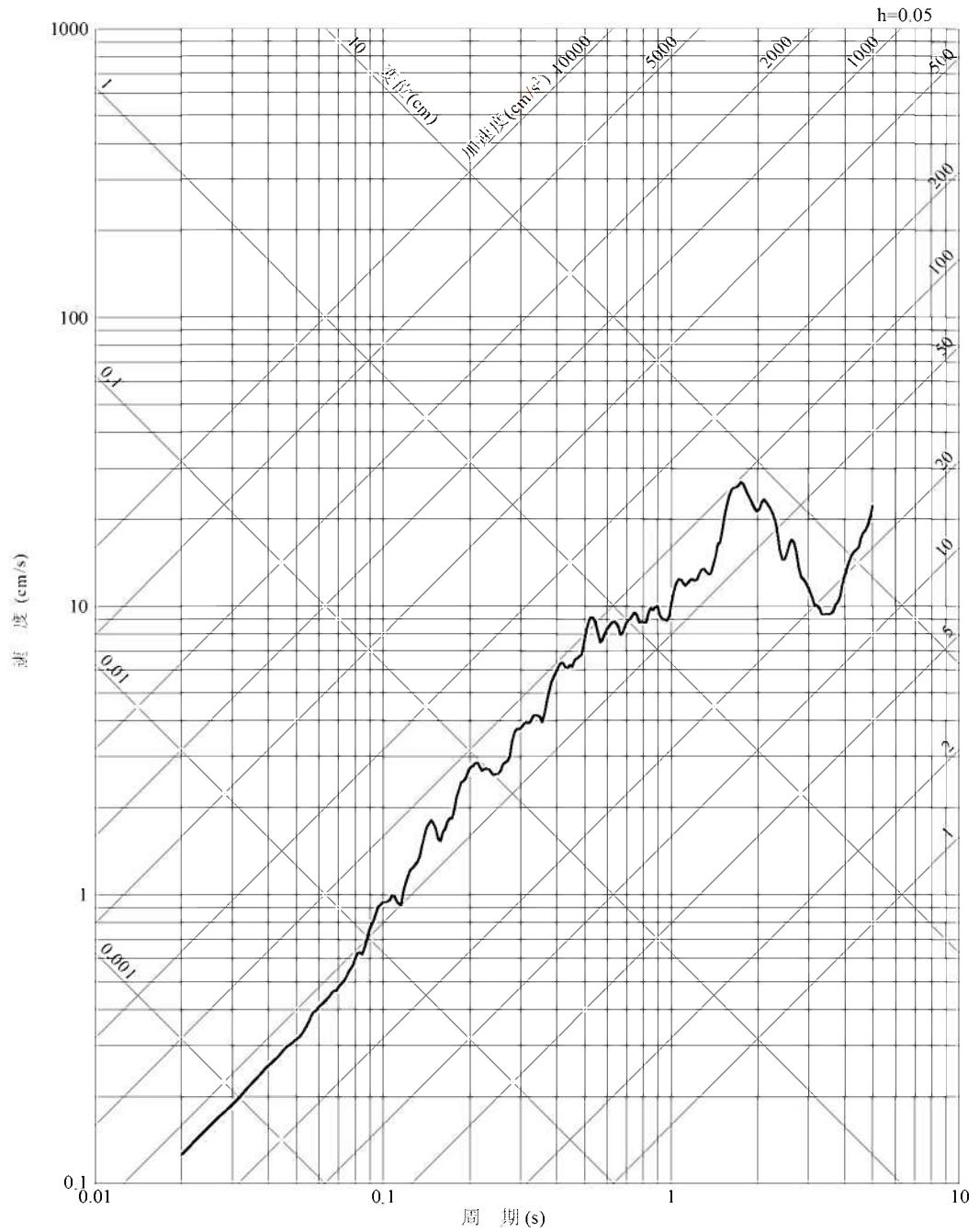
第1.2-320図 琉球海溝におけるプレート間地震 (Mw9.1) の震源モデル

- 断層モデルを用いた手法(ハイブリッド合成法)NS 方向
- - - 断層モデルを用いた手法(ハイブリッド合成法)EW 方向



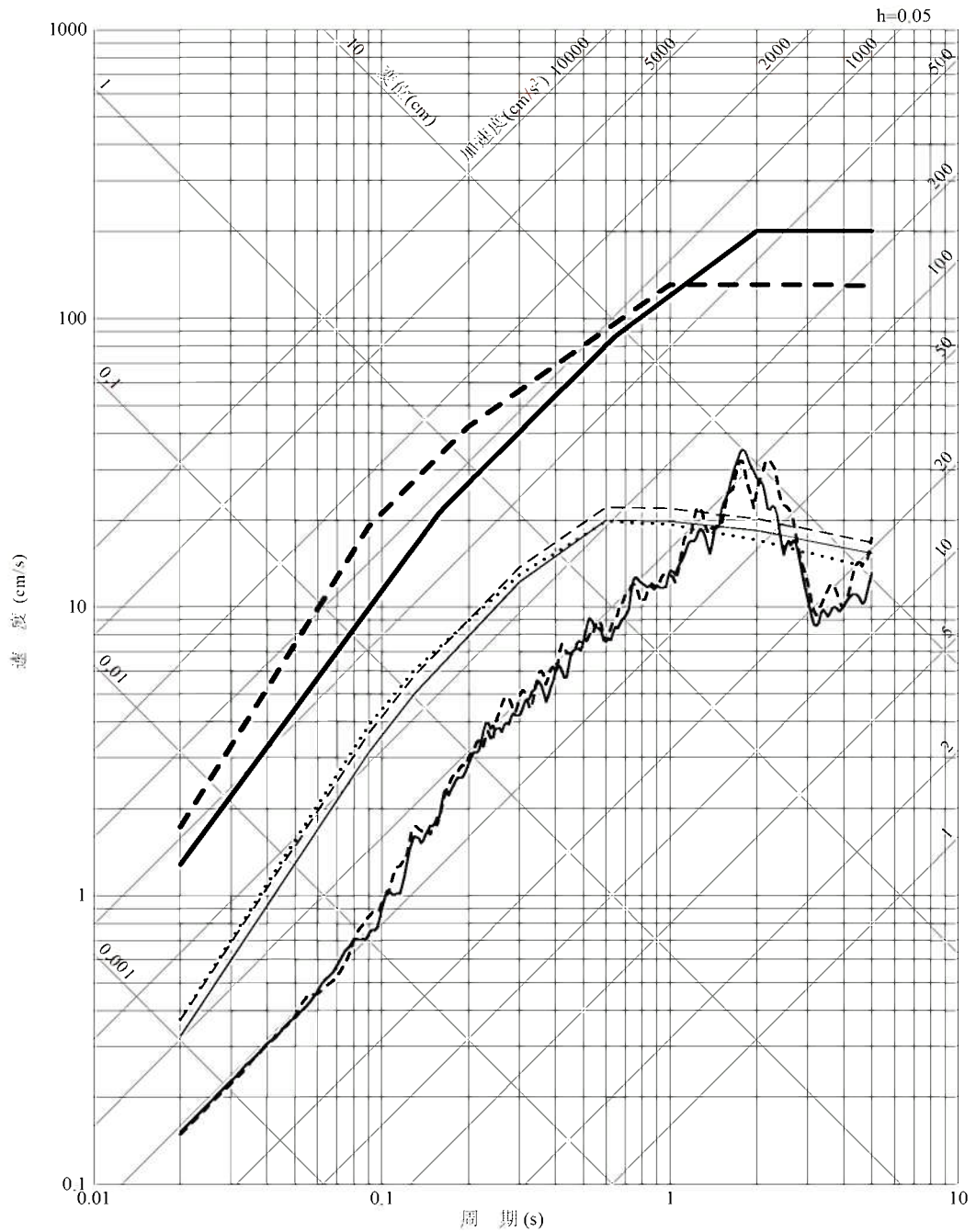
第1.2-321図 琉球海溝におけるプレート間地震(Mw9.1)の応答スペクトル(水平方向)

—— 断層モデルを用いた手法(ハイブリッド合成法)UD方向



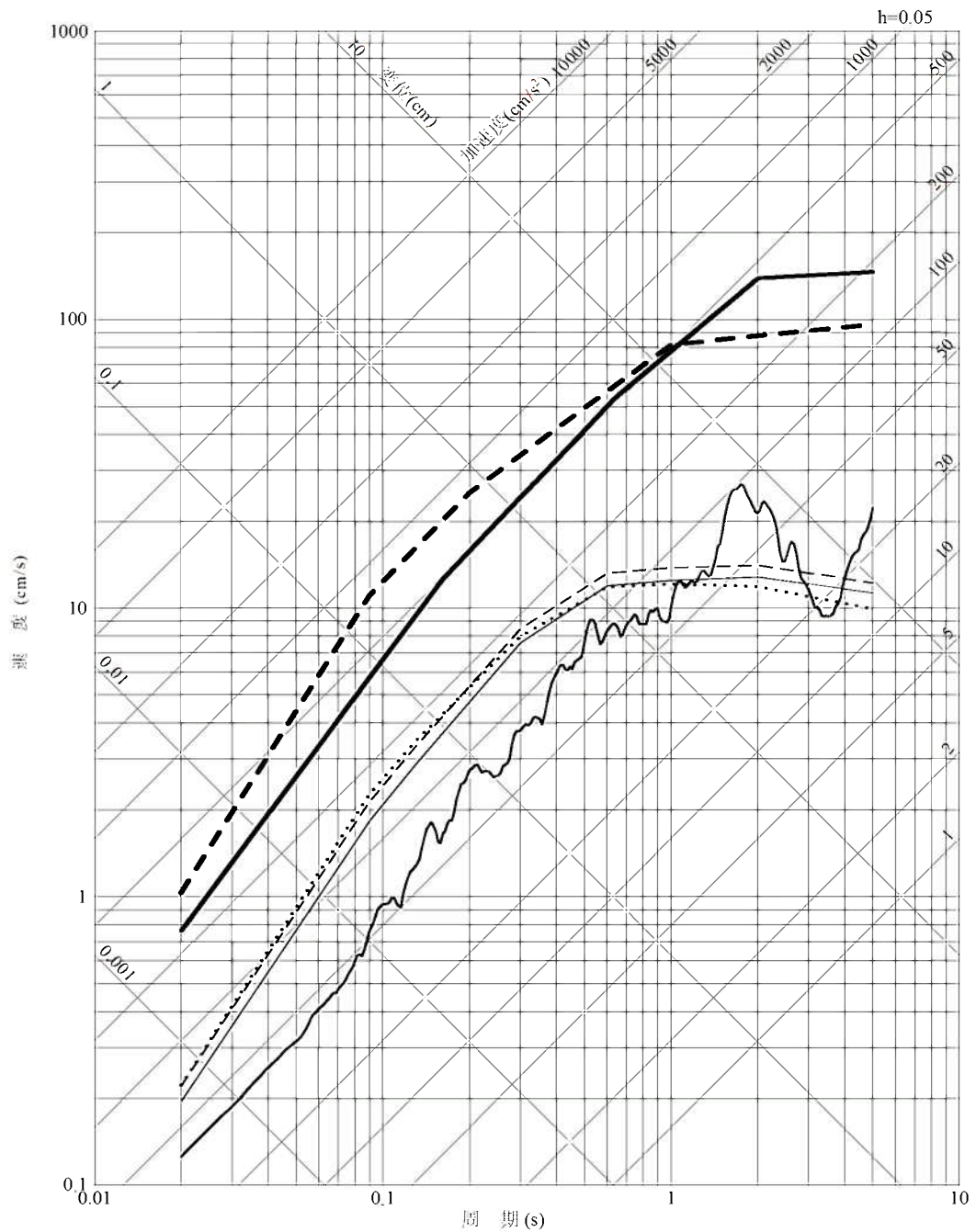
第1.2-322図 琉球海溝におけるプレート間地震(Mw9.1)の応答スペクトル(鉛直方向)

- Ss-L_H
- - - Ss-l_H
- 琉球海溝におけるプレート間地震の断層モデルを用いた手法(ハイブリッド合成法)NS 方向
- - - 琉球海溝におけるプレート間地震の断層モデルを用いた手法(ハイブリッド合成法)EW 方向
- 布田川・日奈久断層帯による地震の応答スペクトルに基づく手法(Noda et al. (2002))
- 甌島西方断層による地震の応答スペクトルに基づく手法(Noda et al. (2002))
- - - 長崎海脚断層による地震の応答スペクトルに基づく手法(Noda et al. (2002))

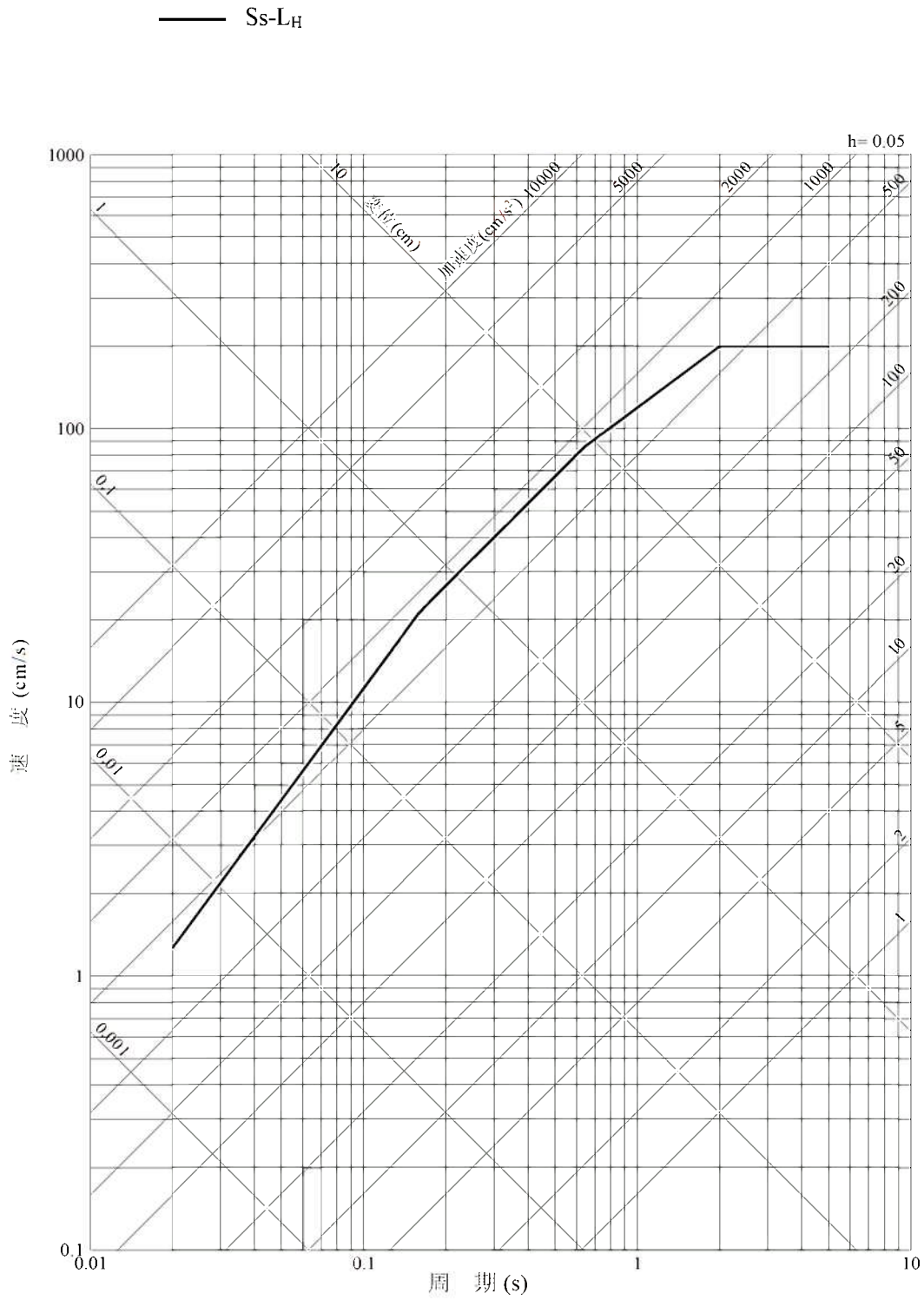


第1.2-323図 免震構造施設設計用基準地震動Ss-Lの設計用応答スペクトルと地震動評価結果(水平方向)

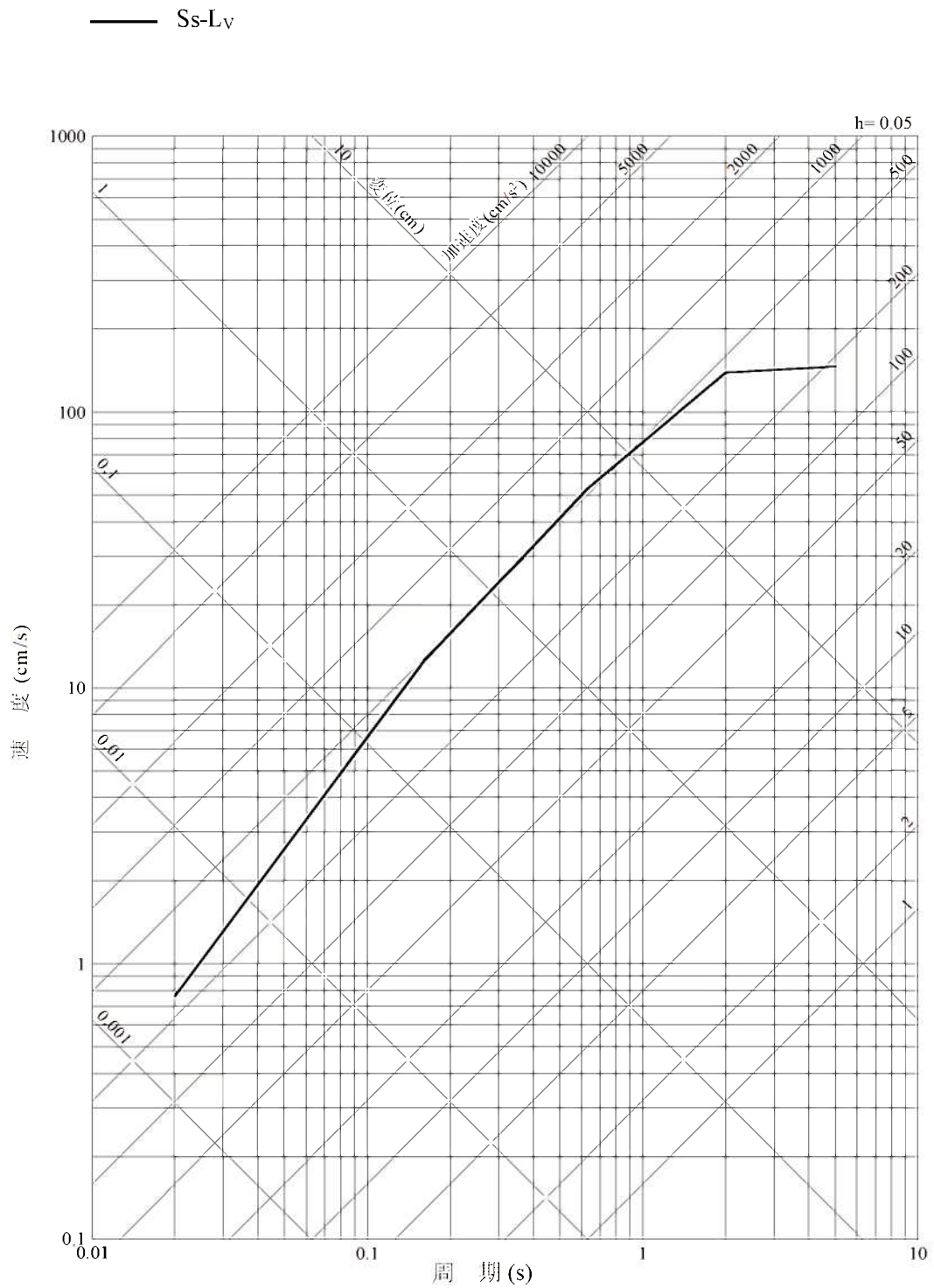
- Ss-L_v
- - - Ss-l_v
- 琉球海溝におけるプレート間地震の断層モデルを用いた手法(ハイブリッド合成法)UD 方向
- 布田川・日奈久断層帯による地震の応答スペクトルに基づく手法(Noda et al. (2002))
- ⋯ 甌島西方断層による地震の応答スペクトルに基づく手法(Noda et al. (2002))
- - - 長崎海脚断層による地震の応答スペクトルに基づく手法(Noda et al. (2002))



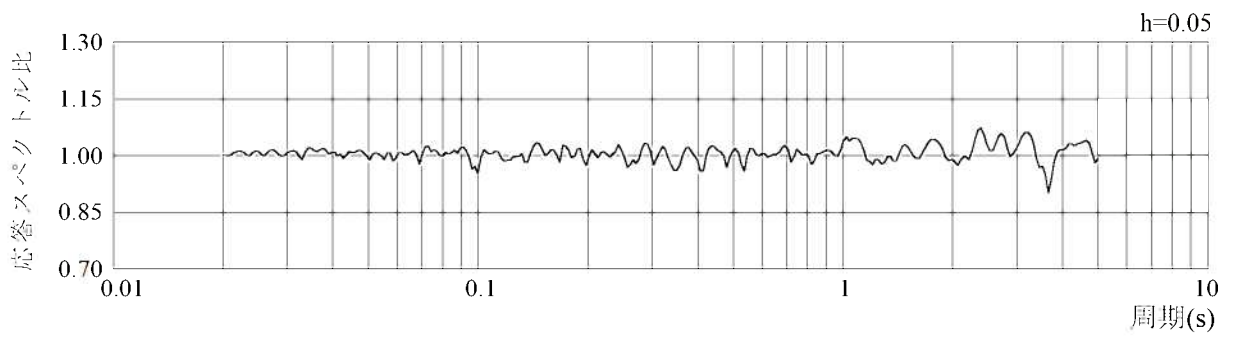
第1.2-324図 免震構造施設設計用基準地震動Ss-Lの設計用応答スペクトルと地震動評価結果(鉛直方向)



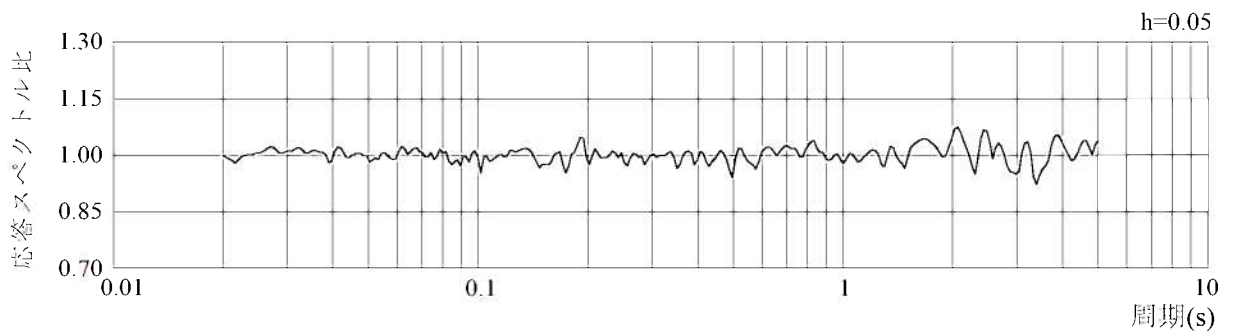
第1.2-325図 免震構造施設設計用基準地震動Ss-Lの設計用応答スペクトル
(水平方向)



第1.2-326図 免震構造施設設計用基準地震動Ss-Lの設計用応答スペクトル
(鉛直方向)

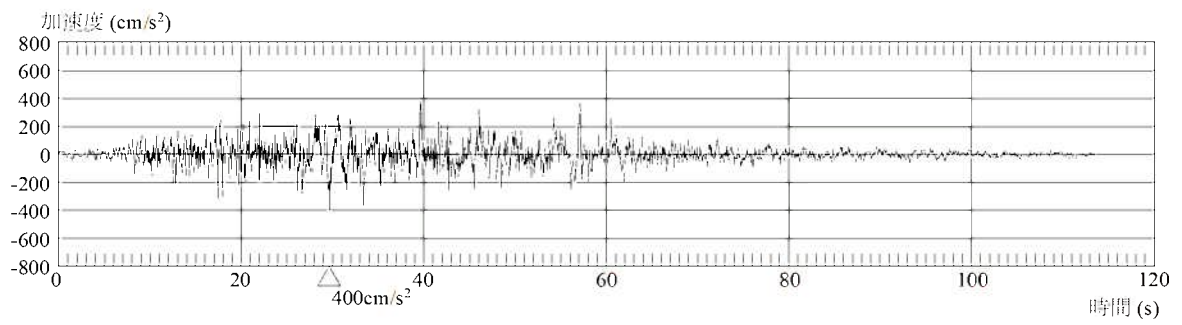


水平方向

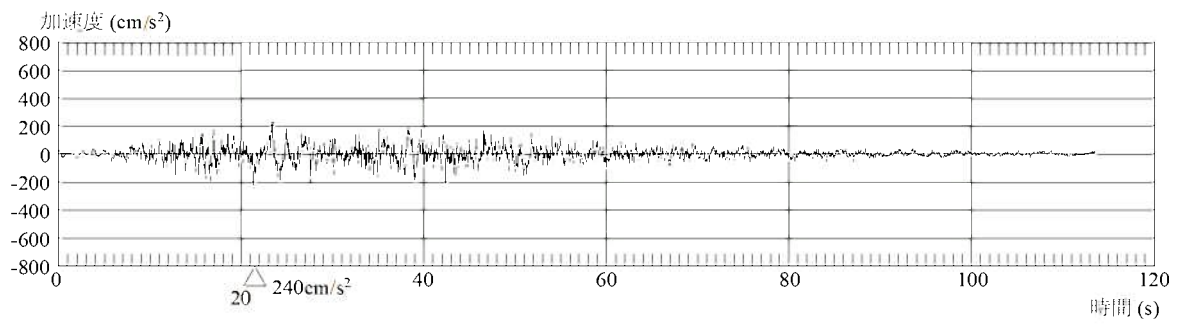


鉛直方向

第1.2-327図 免震構造施設設計用基準地震動Ss-Lの設計用応答スペクトルに対する設計用模擬地震波の応答スペクトル比



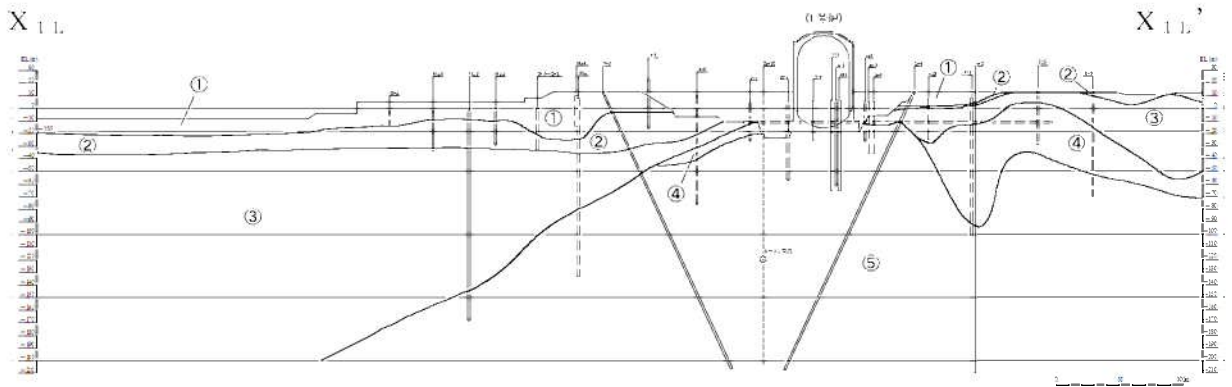
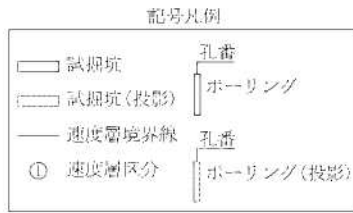
加速度(水平方向:Ss-LH)



加速度(鉛直方向:Ss-LV)

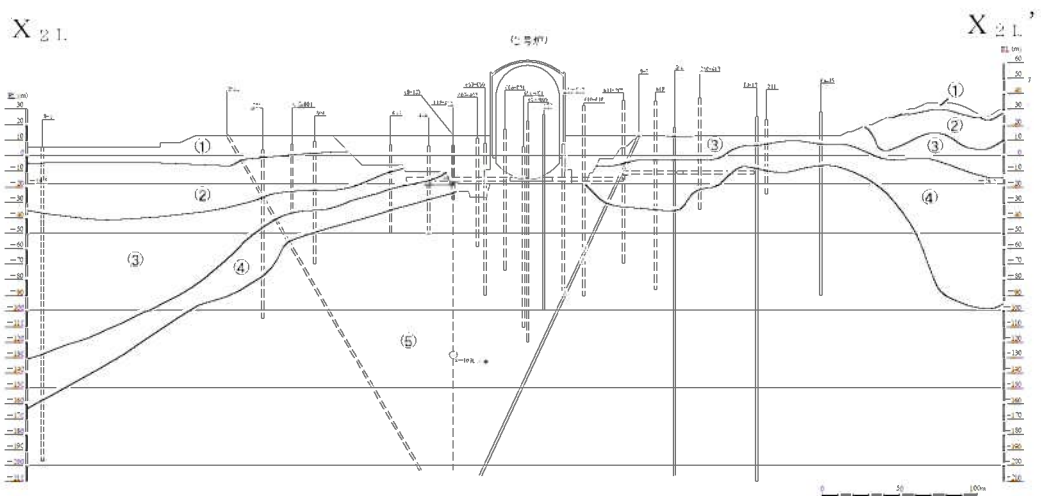
第1.2-328図 免震構造施設設計用基準地震動Ss-Lの設計用模擬地震波の時刻歴波形

速度層区分	P波速度 Vp (km/s)	S波速度 Vs (km/s)
①	1.17	0.28
②	1.86	0.52
③	2.51	0.90
④	3.40	1.37
⑤	4.33	2.05



第1.2-330図(1) 速度層断面図(X_{1L}—X_{1L'}断面)

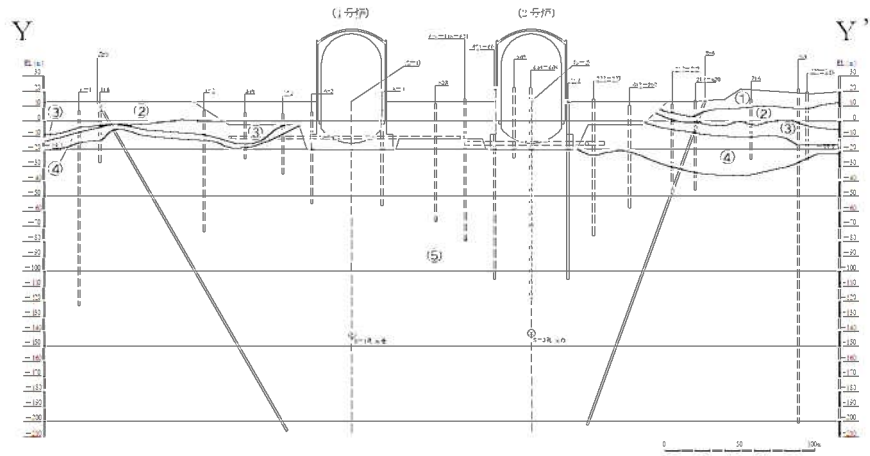
速度層区分	P波速度 Vp (km/s)	S波速度 Vs (km/s)
①	1.17	0.28
②	1.86	0.52
③	2.51	0.90
④	3.40	1.37
⑤	4.33	2.05



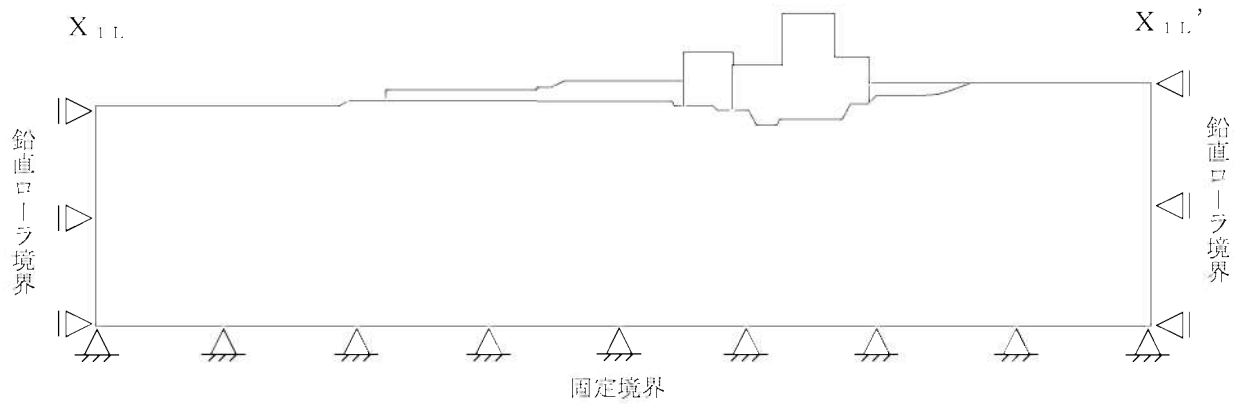
第1.2-330図(2) 速度層断面図(X_{2L}—X_{2L'}断面)

速度層区分	P波速度 V_p (km/s)	S波速度 V_s (km/s)
①	1.17	0.28
②	1.86	0.52
③	2.51	0.90
④	3.40	1.37
⑤	4.33	2.05

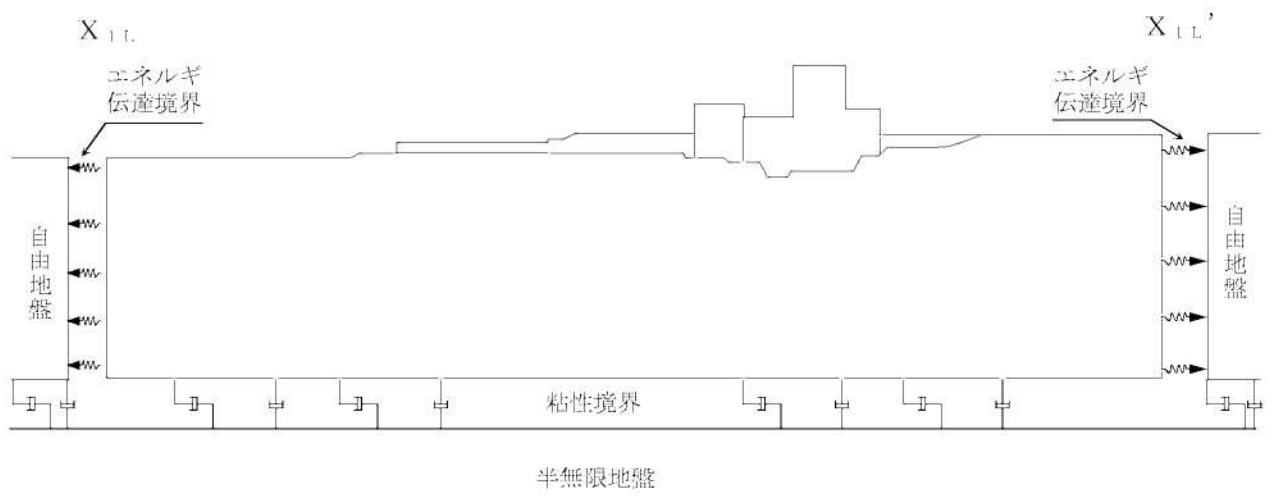
記号凡例	
	試掘坑
	試掘坑(投影)
	速度層境界線
	速度層区分
	孔番
	ボーリング
	孔番
	ボーリング(投影)



第1.2-330図(3) 速度層断面図(Y-Y'断面)

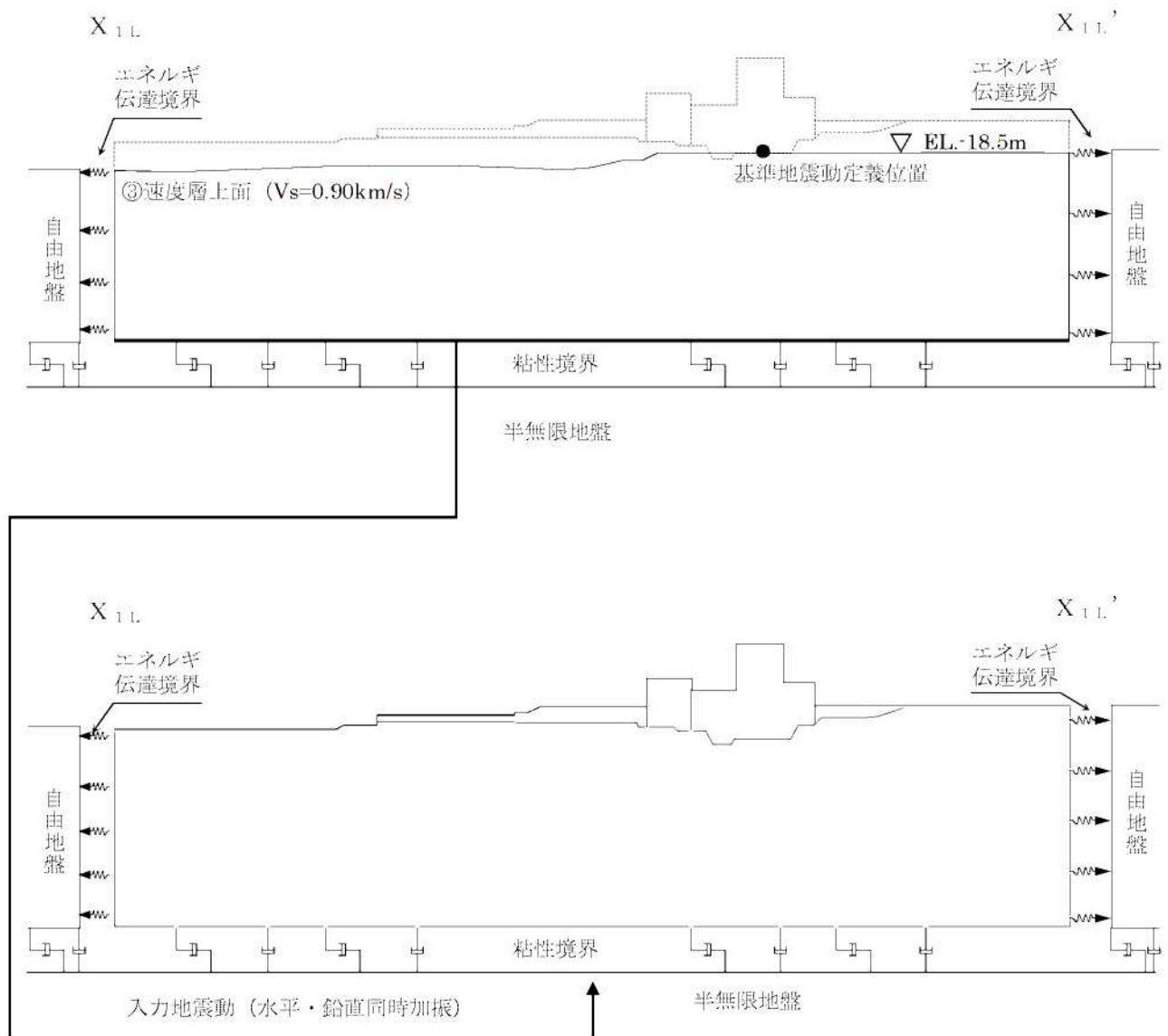


静的解析時



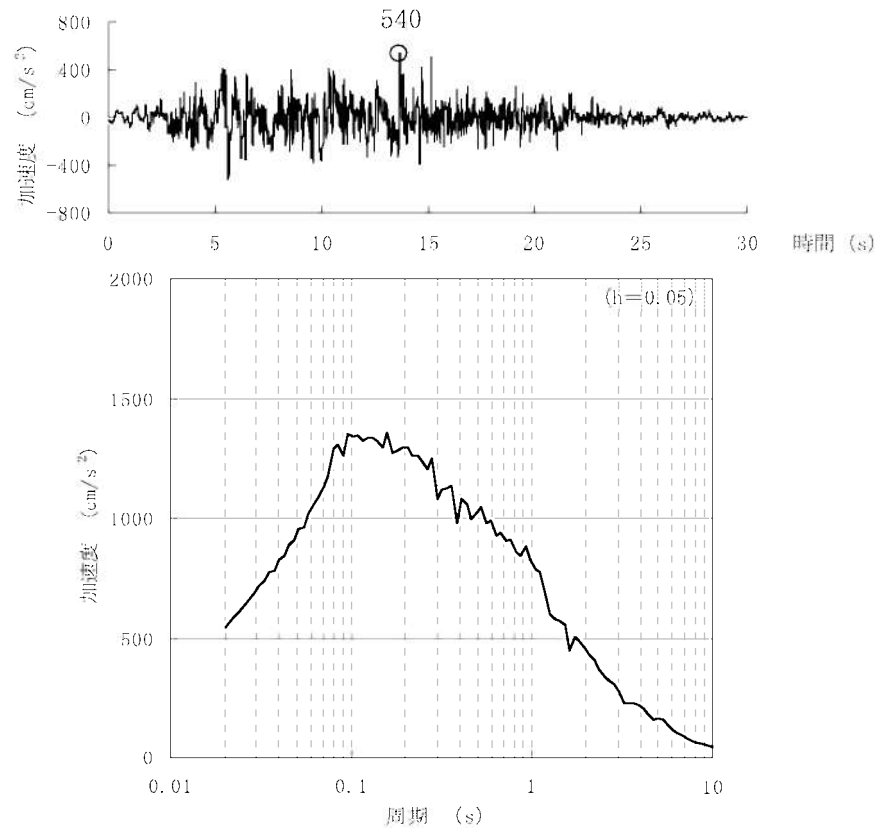
動的解析時

第1.2-332図 境界条件 ($X_{1L}-X_{1L}'$ 断面の例)

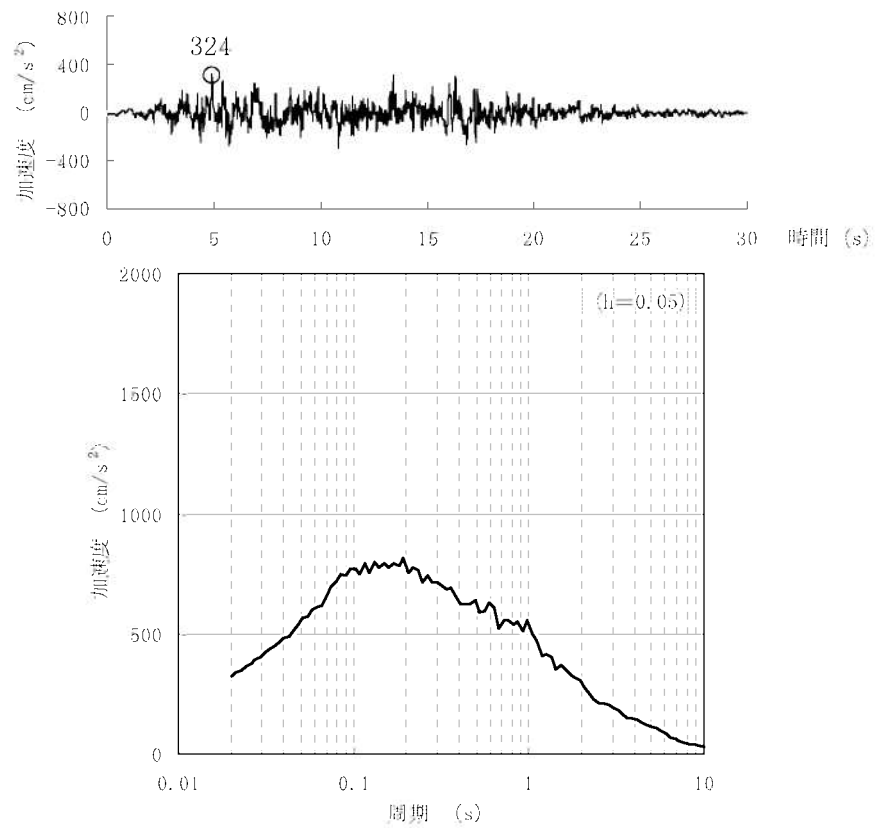


第1.2-333図 入力地震動の考え方 ($X_{1L} - X_{1L}'$ 断面の例)

(水平動: Ss-1_H)

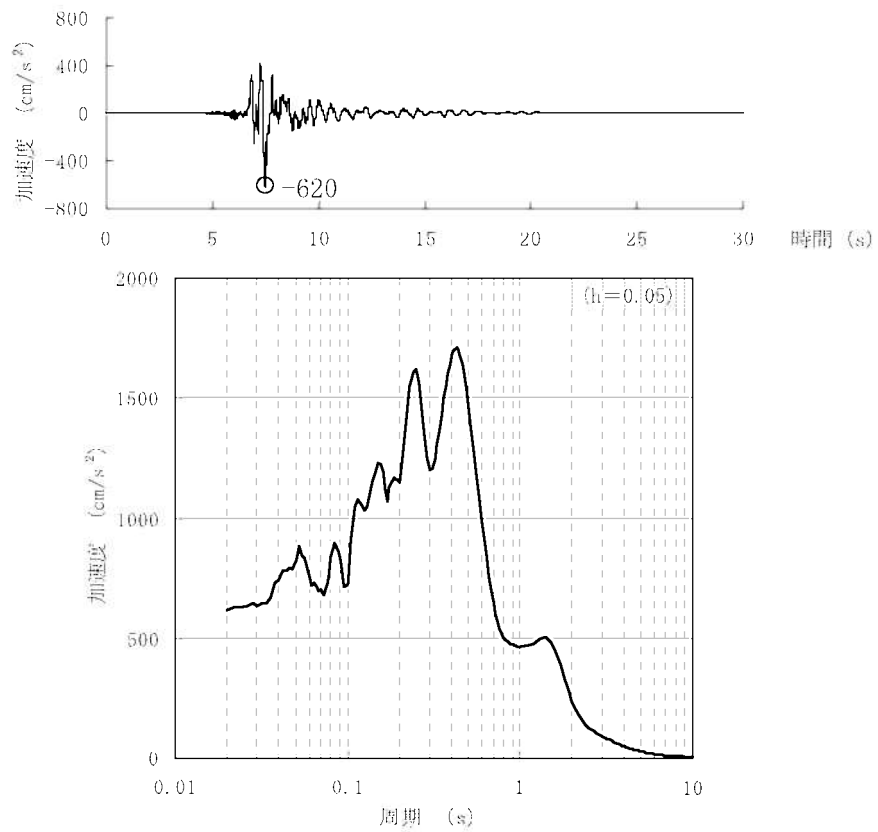


(鉛直動: Ss-1_V)

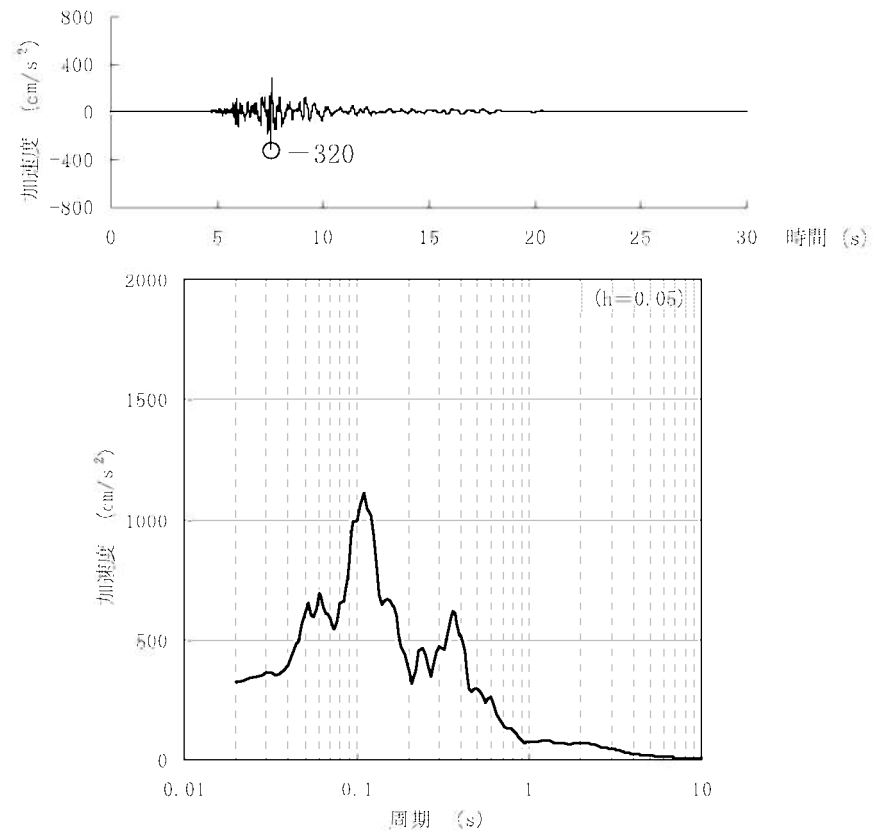


第1.2-334図(1) 基準地震動の時刻歴波形と加速度応答スペクトル(Ss-1)

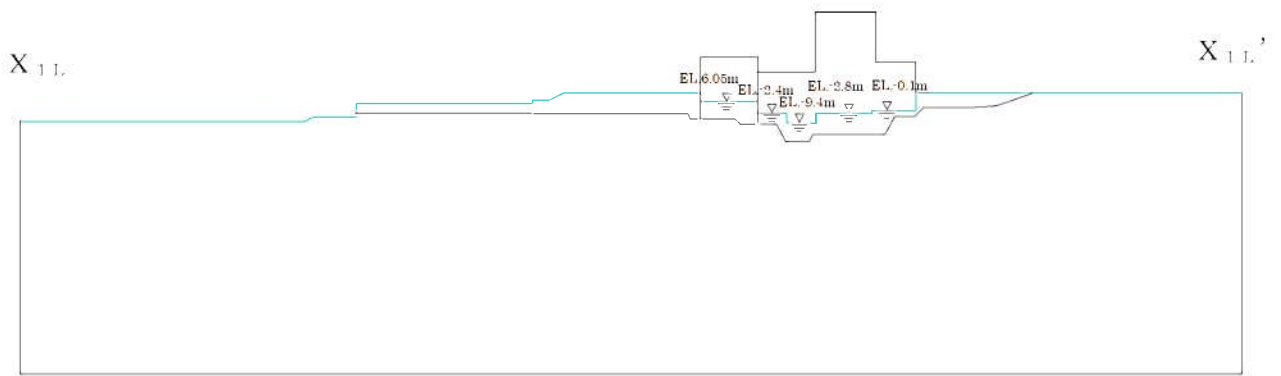
(水平動: Ss-2H)



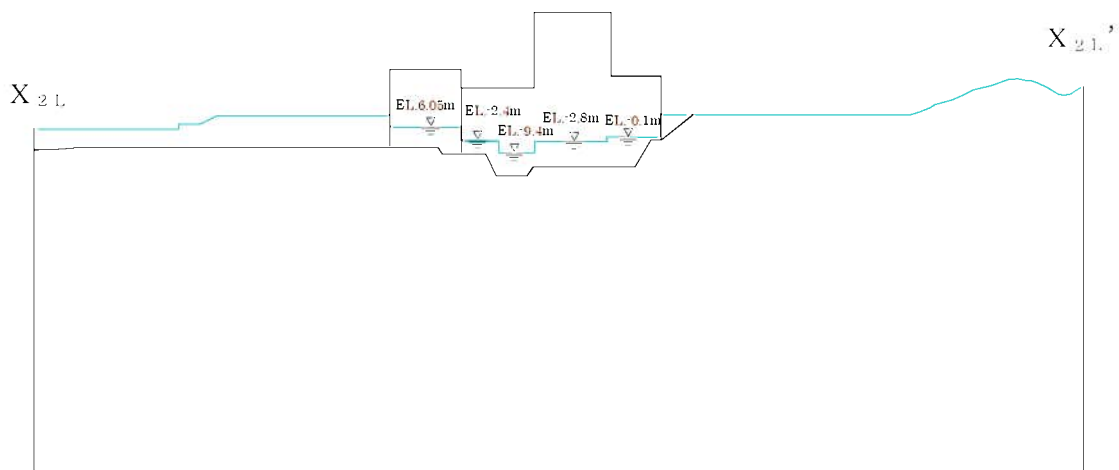
(鉛直動: Ss-2v)



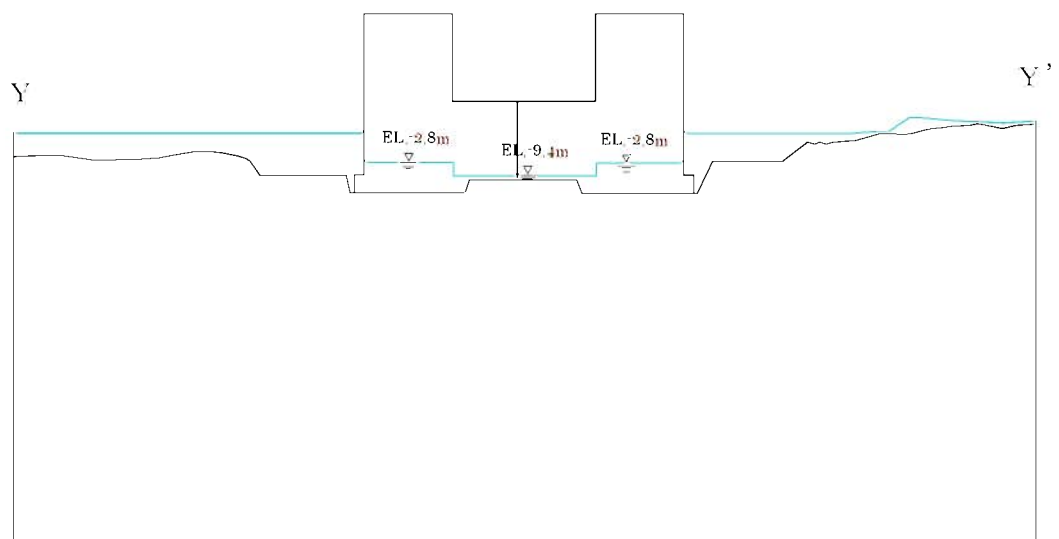
第1.2-334図(2) 基準地震動の時刻歴波形と加速度応答スペクトル(Ss-2)



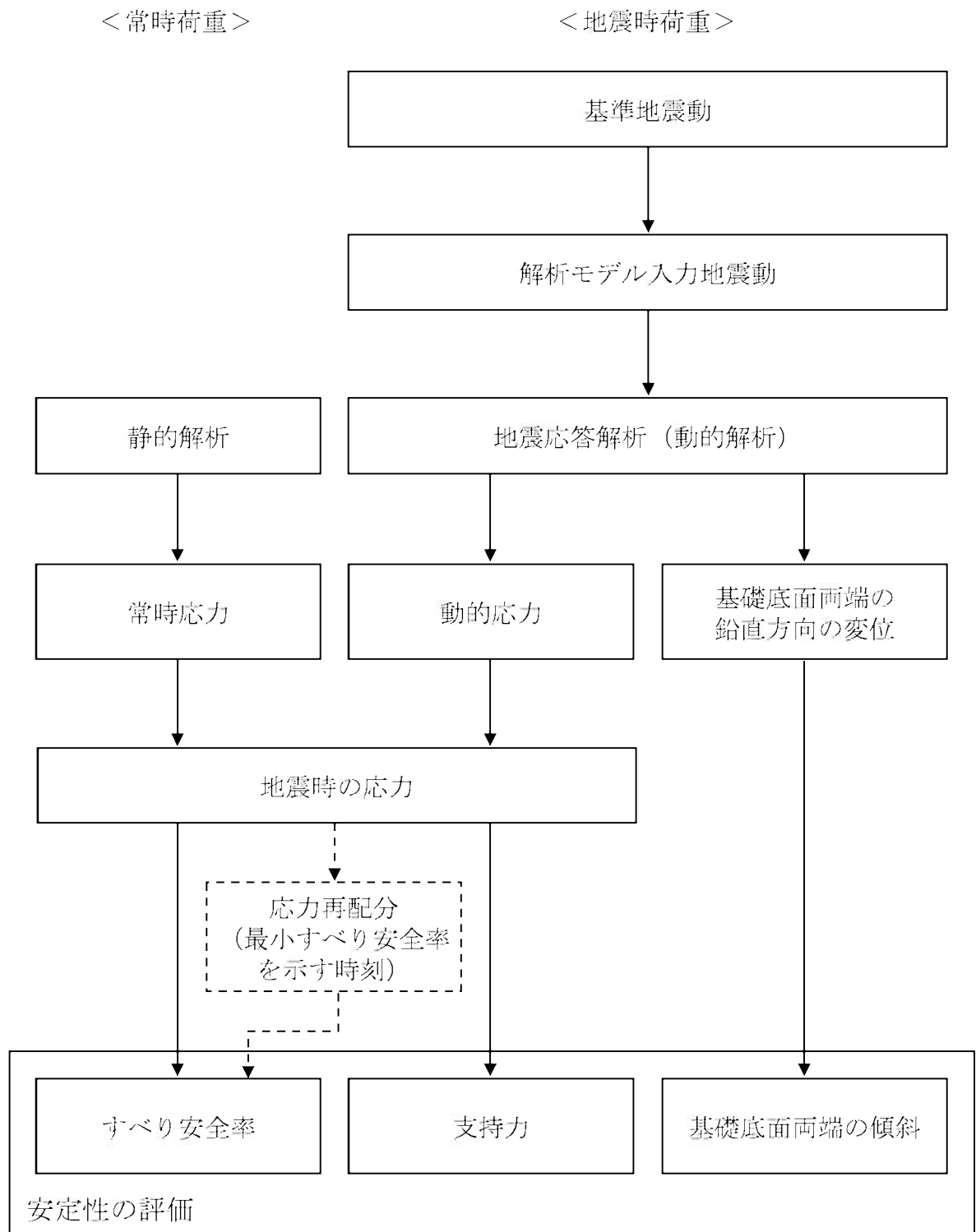
第1.2-335图(1) 解析用地下水位(X_{1L}—X_{1L'}断面)



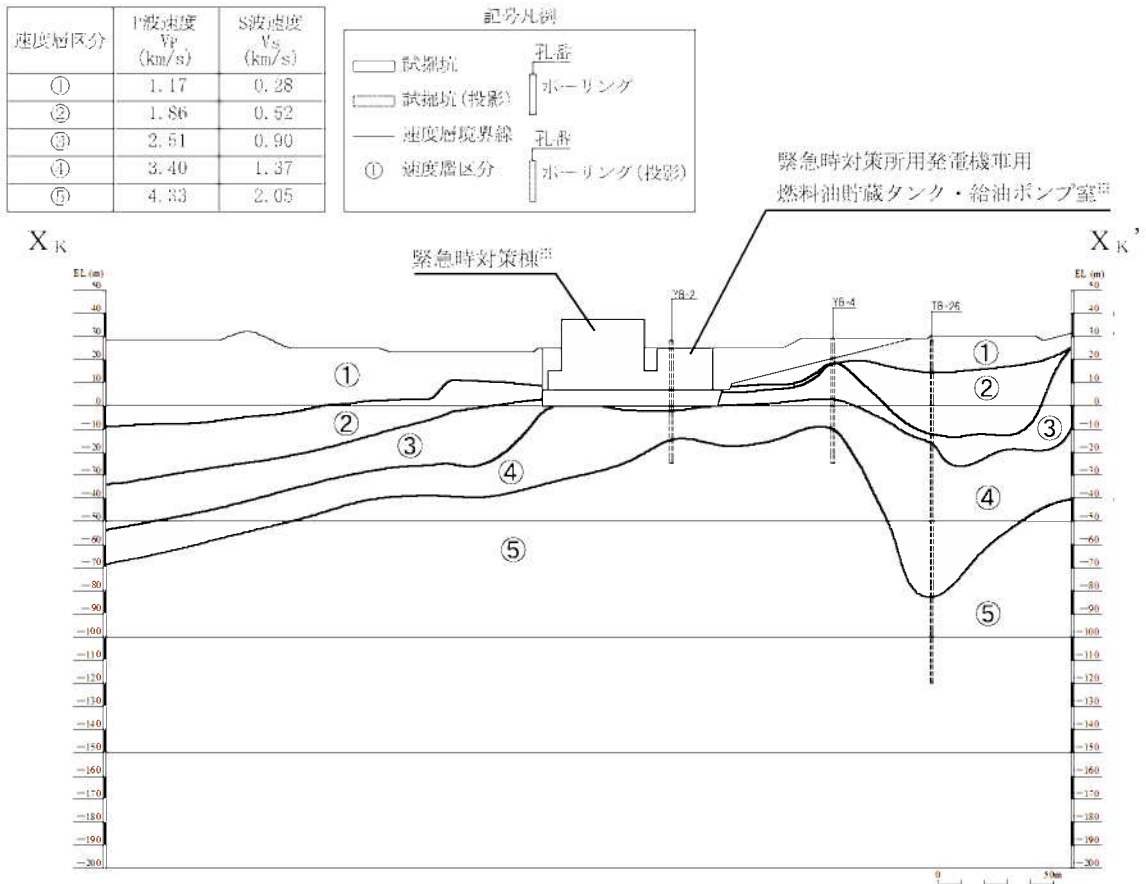
第1.2-335图(2) 解析用地下水位(X_{2L}—X_{2L'}断面)



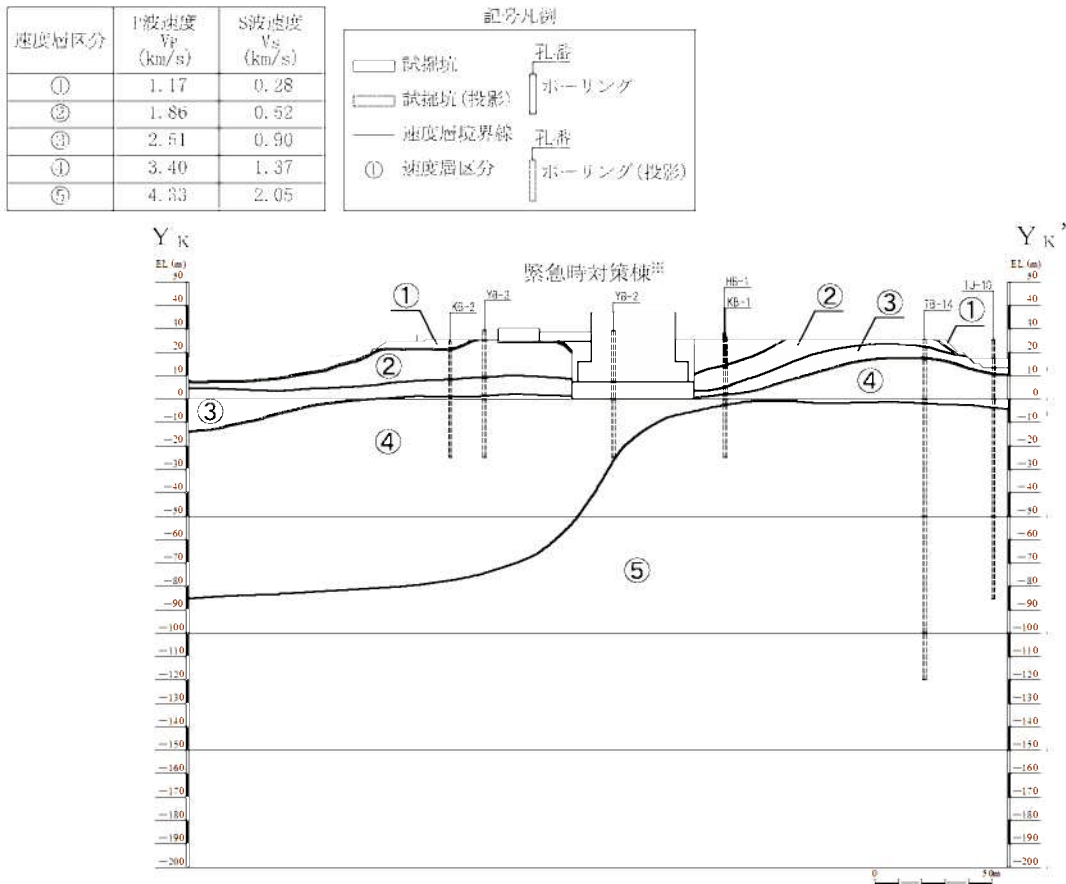
第1.2-335图(3) 解析用地下水位(Y—Y'断面)



第1.2-336図 基礎地盤の安定性評価フロー

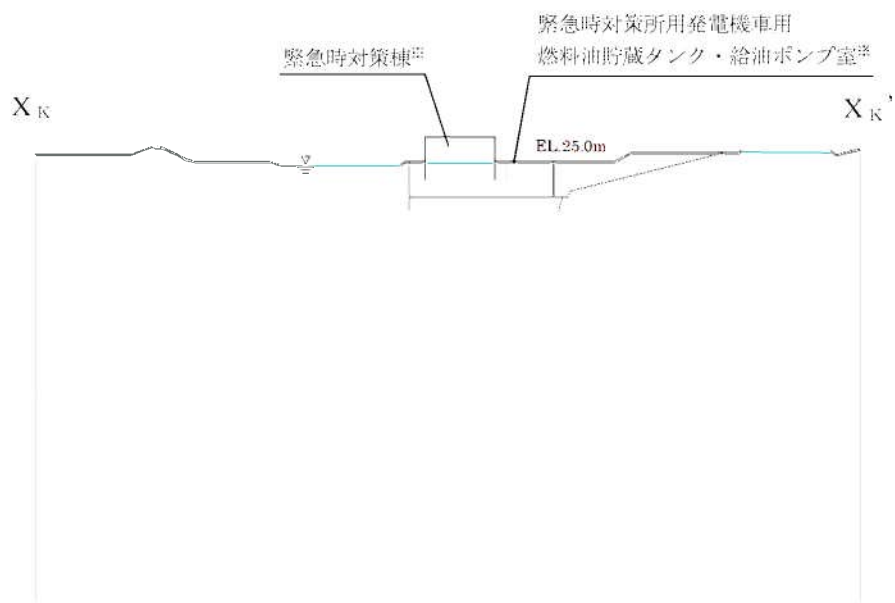


1.2-342図(1) 速度層断面図(X_K-X_K'断面)

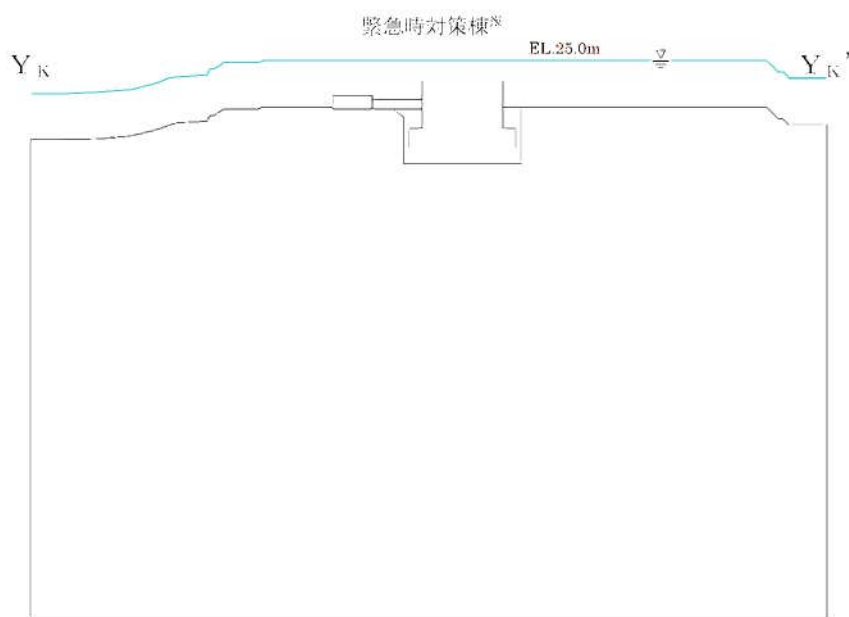


第1.2-342図(2) 速度層断面図(Y_K-Y_K'断面)

※ 評価時点においては運用開始していない。

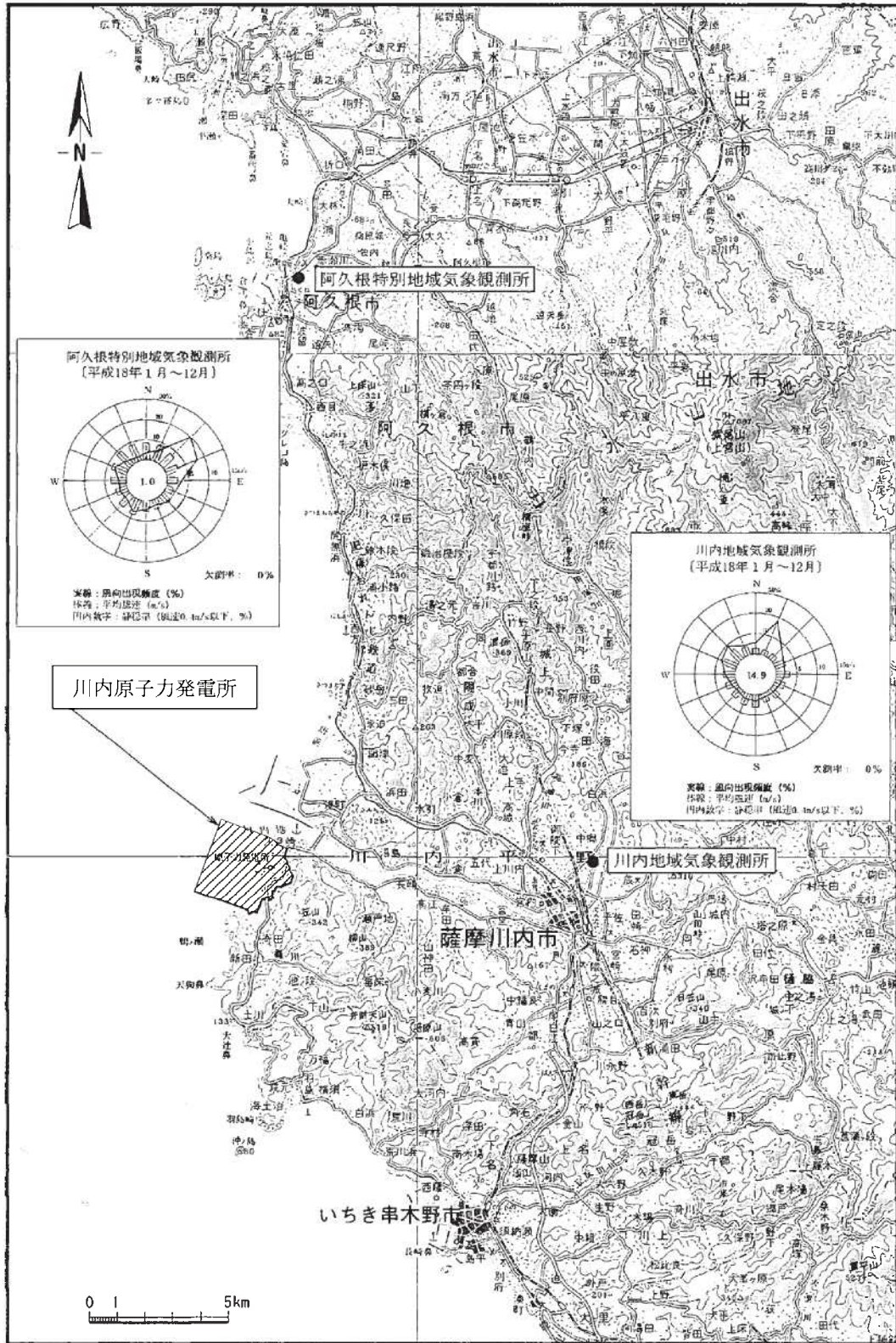


第1.2-344図(1) 解析用地下水位($X_K - X_K'$ 断面)



第1.2-344図(2) 解析用地下水位($Y_K - Y_K'$ 断面)

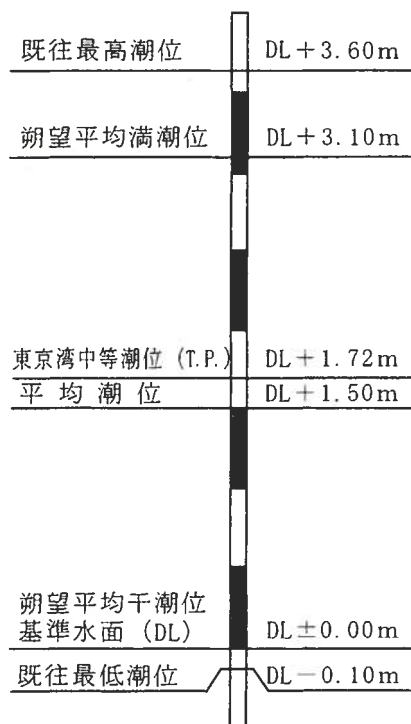
※ 評価時点においては運用開始していない。



「気象庁年報2006年」(気象庁、平成19年)

「アメダス年報2006年」(気象庁、平成19年)より作成

第1.2-353図 気象観測所の位置及び風配図

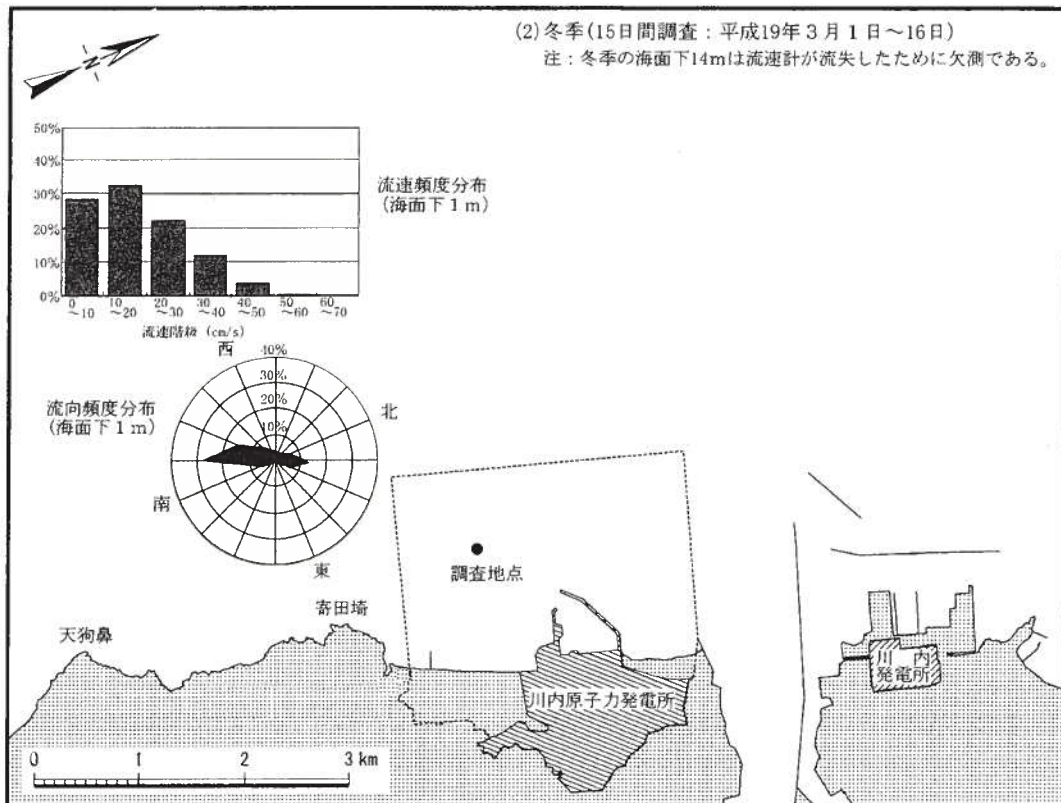
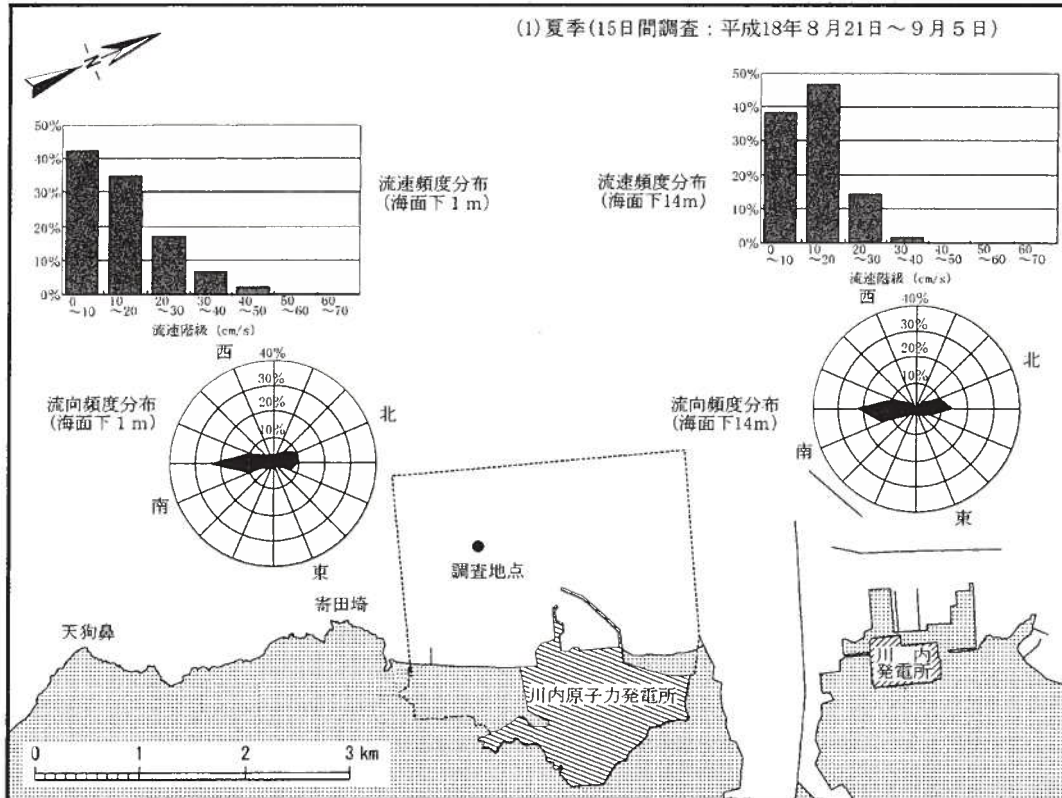


観測期間：昭和20～31年



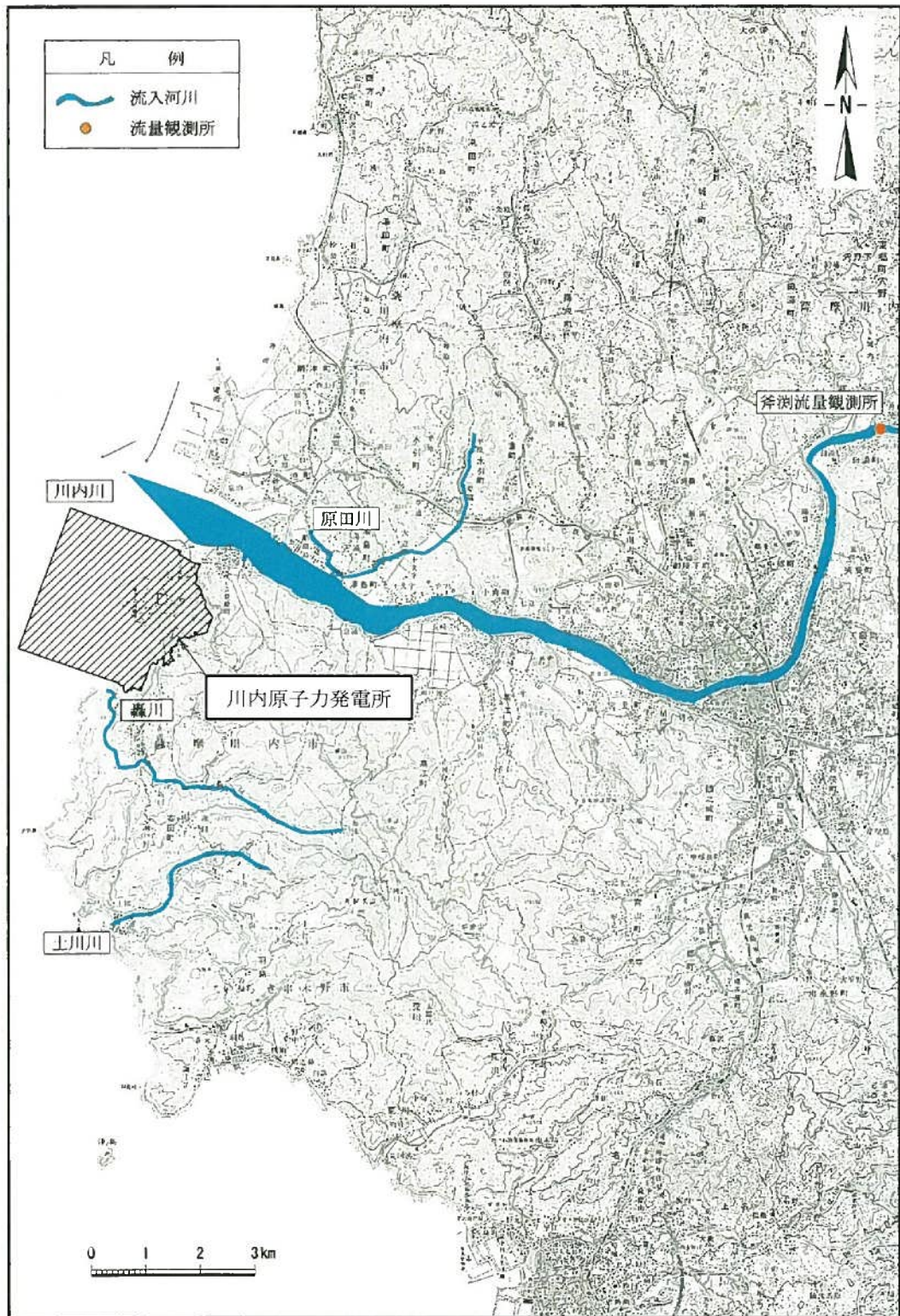
「Port of Sendai 川内港」(鹿児島県北薩地域振興局、平成18年)より作成

第1.2-354図 串木野漁港の潮位



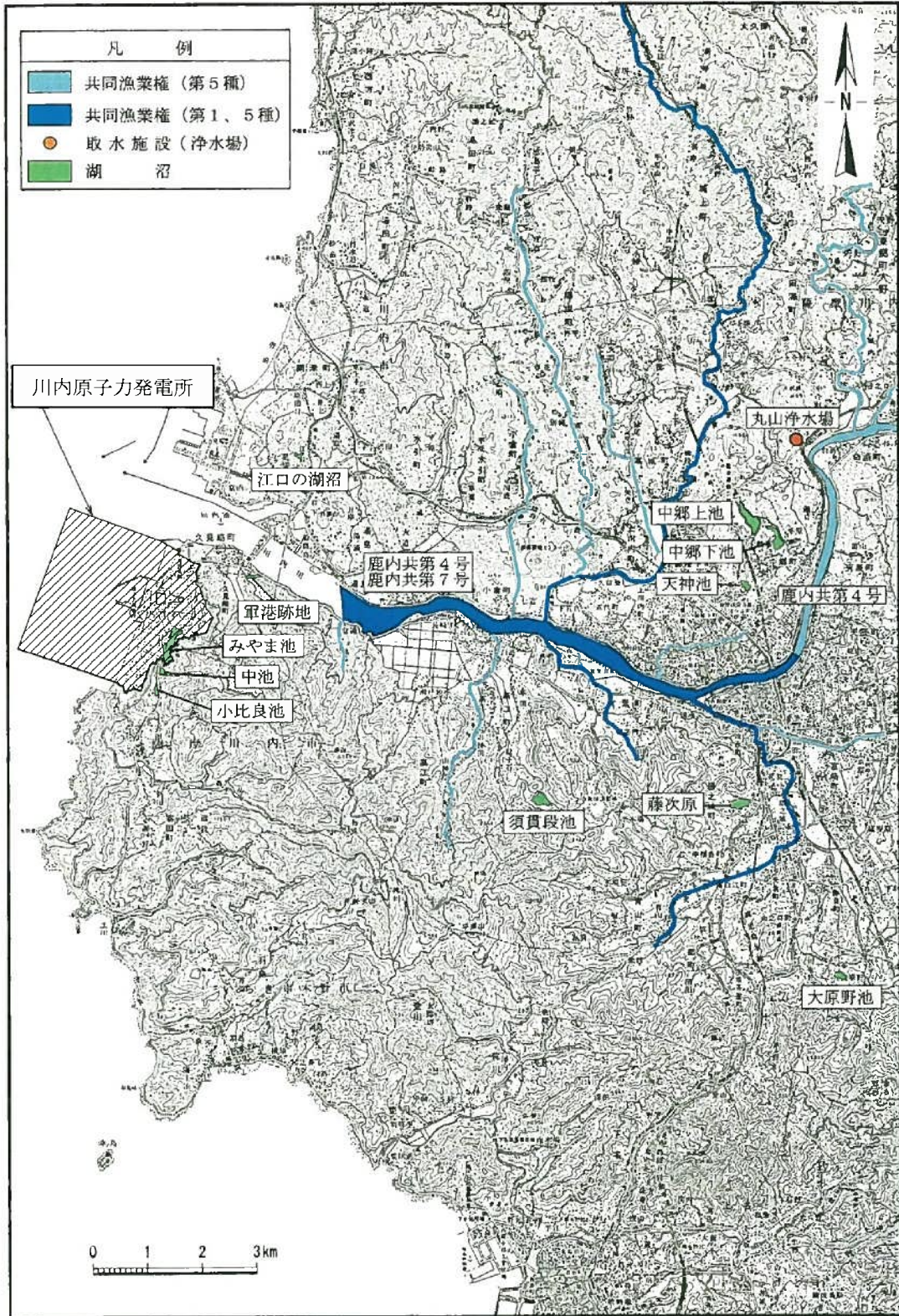
「川内原子力発電所温排水影審調査報告書 平成18年度」(鹿児島県、平成19年)より作成

第1.2-355図 流況図(平成18年)



「北薩地域振興局管内図」(鹿児島県北薩地域振興局建設部、平成19年)
「流量年表」(国土交通省河川局、平成19年) より作成

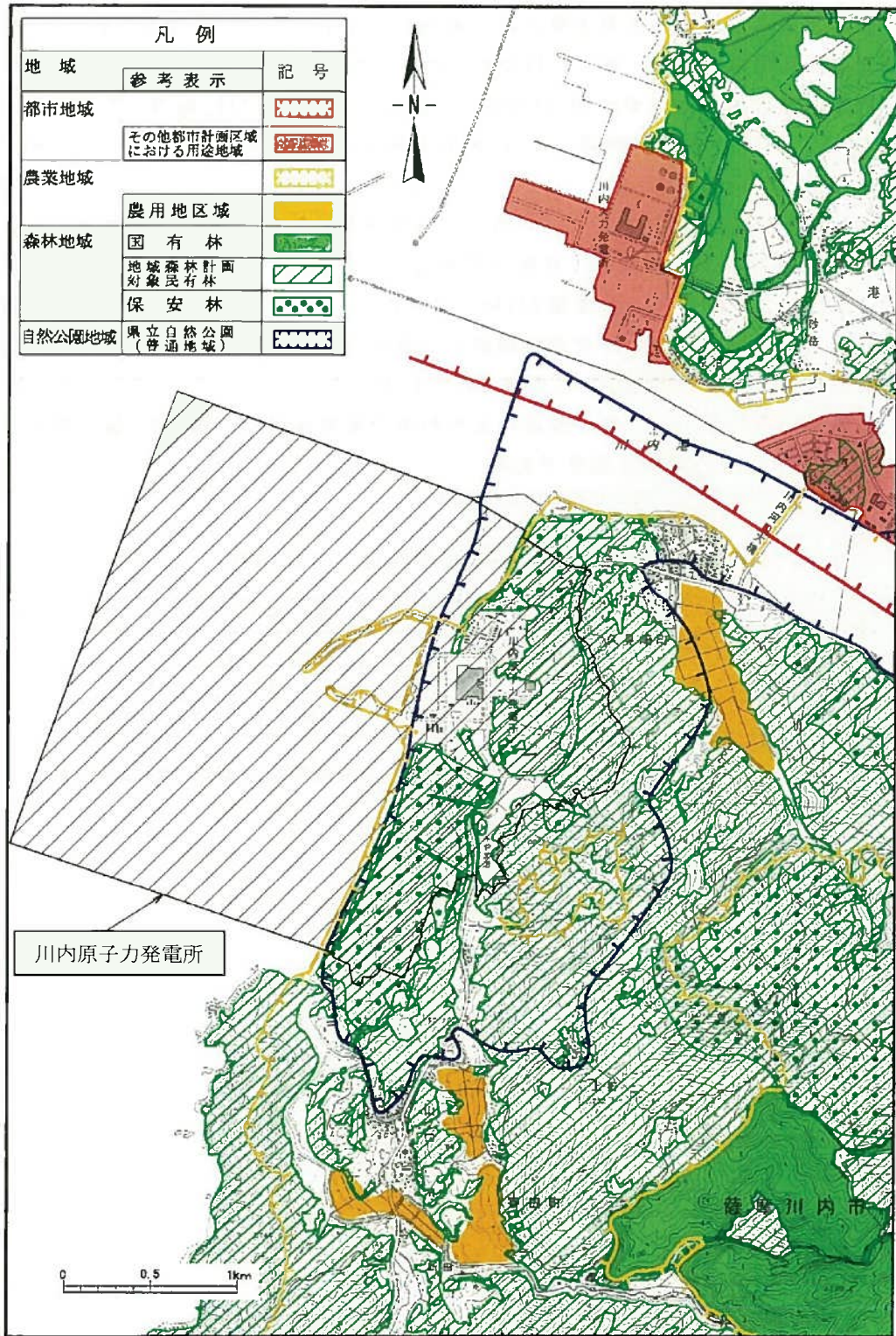
第1.2-356図 川内原子力発電所周辺海域に流入する主要な河川



「免許漁業原簿謄本」(鹿児島県、平成16年)

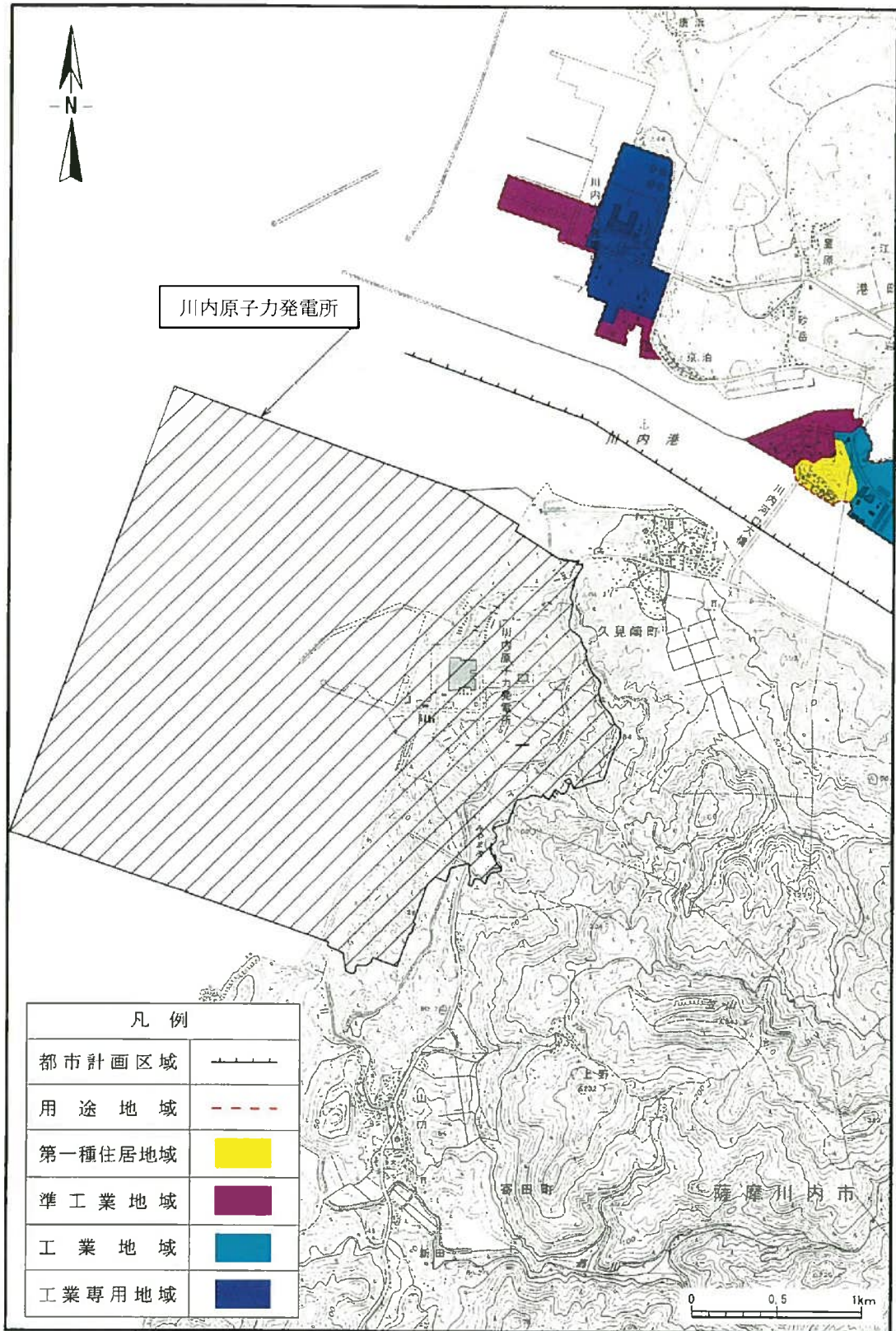
「統計さつませんだい 平成18年度版」(薩摩川内市、平成19年)より作成

第1.2-357図 川内川水系の利用状況及び湖沼の位置



「川内川流域県立自然公園(区域図)」(鹿児島県、平成10年)、「附図1号 土地利用計画図」(川内市、平成12年)、「北薩森林計画区図森林位置図」(九州森林管理局、平成17年)、「薩摩川内市(旧川内市)森林基本図」(鹿児島県、平成17年)、「川内都市計画用途地域図」(薩摩川内市、平成19年)、「保安林配置図」(鹿児島県、平成19年) より作成

第1.2-358図 土地利用の規制状況



「川内都市計画用途地域図」(薩摩川内市、平成19年)より作成

第1.2-359図 都市計画用途地域